

8 de agosto de 2025
Archivo No. 01204123.21-13

Sr. Baitong Chen
Distrito de Gestión de la Calidad del Aire de la Costa Sur
21865 Copley Drive
Diamond Bar, California 91765

Asunto: Determinación del Comité de Reacción Mensual sobre los Límites del Área de Reacción del Vertedero de Chiquita Canyon - Castaic, California

Estimado Sr. Chen:

Conforme a las Condiciones No. 9a y 9b de la Orden de Depuración Estipulada Modificada (SOFA) en relación al Vertedero de Chiquita Canyon (el Vertedero o el Centro) (Caso No. 6177-4), el Comité de Reacción revisó los nuevos datos adquiridos aplicables registrados durante el mes de julio de 2025, consideró las revisiones del alcance estimado de las condiciones del vertedero de temperaturas elevadas (ETLF) en el Centro de referencia (denominados límites del "Área de Reacción") y ha elaborado esta determinación sobre potencialmente revisar el mapa del Área de Reacción.

El Adjunto A presenta el Plano con el título "Mapa del Área de Reacción", preparado por SCS Engineers (SCS) con fecha 6 de agosto de 2025. El Plano muestra el límite del Área de Reacción como se indica en la Condición No. 9a que corresponde a los límites de las Celdas 1/2A, 2B/3, 4 y al Módulo 2B/3/4 P2 como línea negra sólida. El Plano también muestra el alcance estimado de las condiciones de ETLF experimentadas en el sitio en base a la revisión de los datos científicos del Comité de Reacción como línea de puntos magenta. El fundamento que sirve como base para considerar ajustes y modificaciones en el límite del Área de Reacción (o la determinación de mantener el límite decretado) incluye lo siguiente:

- Temperaturas del cabezal del pozo de Biogás (LFG) que exceden aproximadamente los 160 grados Fahrenheit.
- Mala calidad del gas (definido como niveles de metano inferiores al 30 por ciento) junto con proporciones de metano-dióxido de carbono (CH₄:CO₂) inferiores a 1.0.
- La concentración de hidrógeno (H₂) en el LFG que mide más del 2 por ciento por volumen.
- La concentración de monóxido de carbono (CO) en el LFG que mide más del 2,000 ppm.
- Asentamiento acelerado de la superficie del vertedero, definida como aproximadamente 18 pulgadas o más dentro de un período de 60 días y grietas en la cubierta del vertedero. Esto corresponde a un índice de un valor de tensión (es decir, un índice de asentamiento) del 3 por ciento por año para zonas con profundidad de columnas de desechos de 300 pies, que creemos que es una profundidad promedio razonable en el tema de interés.
- Observaciones de primera mano del Vertedero y/o del personal de campo de ingeniería, construcción y operaciones y mantenimiento (O&M) de SCS que está en el sitio. 1) cantidades excesivas atípicas de lixiviados (presencia y cantidad de líquidos); 2) instancias de líquidos presurizados que salen de la superficie del vertedero, desde los pozos durante las perforaciones y desde los pozos de LFG; y 3) las



características de los olores que se originan en las áreas seleccionadas de la huella de desechos (generalmente descritas como "similares a productos químicos" y distintivamente diferentes del LFG típico u olores en el trabajo del vertedero)

- Observaciones de condiciones y características de los desechos de la subsuperficie como se indica en los registros de perforación del pozo para nuevos pozos y/o sondas, recién instalados.
- Temperaturas de la subsuperficie registradas en las sondas de temperatura de desechos in-situ durante julio de 2025.
- Temperatura del gas o de los líquidos medida en profundidad dentro del tubo elevador del pozo de LFG (utilizando un transmisor automatizado o instrumentación de campo manual).
- Temperatura y presiones en la subsuperficie asociadas a las actividades de perforaciones para los nuevos pozos de extracción de gas durante julio de 2025.

CONSIDERACIONES DE POTENCIALES AJUSTES AL ALCANCE ESTIMADO DE LAS CONDICIONES DLE ETLF (LÍNEA DE PUNTOS MAGENTA)

Al realizar sus determinaciones mensuales, el Comité de la Reacción evalúa los parámetros del set de datos arriba indicados, junto con otro más, para identificar tendencias significativas que indiquen condiciones de ETLF, en lugar de fluctuaciones exhibidas en puntos de datos aislados.

Cada mes, el Comité de la Reacción examina áreas particulares del Vertedero que previamente exhibieron datos anormales o fluctuantes, cuando aplica. Como se trata a continuación, a pesar de varianzas menores en áreas discretas del vertedero, el Comité de la Reacción no ha discernido ninguna tendencia significativa con respecto a los datos de julio de 2025 que indiquen que la reacción se ha expandido a estas áreas.

Cerca de CV-24009 y CV-24011

El pozo CV-24009 está posicionado dentro de los 60 pies aproximadamente de la línea delineada del límite y el Pozo CV-24011 está posicionado dentro de los 25 pies aproximadamente del límite delineado. Ambos pozos registraron temperaturas de pozos de LFG en el rango de 160 a 162 grados F durante junio y julio, pero las temperaturas promedio de los pozos de LFG medidas durante abril a julio para estos dos pozos fueron de 155 y 154 °F respectivamente.

La calidad del LFG es marginal en CV-24009, que ha exhibido una concentración de metano (CH₄) promedio de un 23 por ciento desde enero hasta julio y la relación de metano a dióxido de carbono (CH₄:CO₂) en julio fue de 0.23. La concentración de monóxido de carbono (CO) en CV-24009 medida durante junio y julio fue de aproximadamente 435 ppm. La concentración de hidrógeno (H₂) medida en julio fue de un 9.0 por ciento.

La calidad del LFG en CV-24011 es bastante mala, con una concentración de metano promedio de solo un 14 por ciento desde enero hasta julio y la relación de metano a dióxido de carbono (CH₄:CO₂) en julio fue de 0.35. La concentración de monóxido de carbono (CO) en CV-24011 medida durante junio y julio fue de aproximadamente 5,700 ppm. La concentración de H₂ medida en julio fue de un 13.7 por ciento.

El pozo contiguo CV-24007 exhibe concentraciones de hidrógeno (H_2) en el rango del 2 al 4 por ciento, pero las temperaturas promedio en el cabezal del pozo de LFG medidas durante mayo a julio son de solo 132 grados F. El pozo contiguo CV-24008 exhibió una temperatura de cabezal de pozo de 161 grados F durante julio, pero la temperatura promedio del cabezal de pozo LFG medida durante mayo a julio fue de solo 114 grados F.

El Comité de la Reacción ha identificado movimiento de gases desde adentro de la zona reactiva a través de colectores horizontales como la potencial causa del aumento a corto plazo del calor y la tendencia a largo plazo del gas de calidad marginal a mala en estos pozos. Específicamente, el pozo CV-24009 está ubicado inmediatamente contiguo a H-1769 (a una elevación de 1335 pies) y el CV-24011 está posicionado inmediatamente contiguo a H-59 (a una elevación de 1280 pies), ambos se extienden cientos de pies en la zona reactiva, por lo tanto es posible que la fuente de calor y el gas de la reacción en estos pozos verticales se compensen a una distancia y se esté transportando hacia los pozos por la tubería de los colectores horizontales y la zanja. Además, tanto CV-24009 como CV-24011 tienen una bomba de desagote específica, por lo tanto el reciente aumento en las temperaturas y la presencia de mayor gas de la reacción (a diferencia del biogás típico) tal vez puedan atribuirse a la reducción de los niveles de lixiviados asentados en esta cercanía, que está permitiendo el movimiento de calor y gas por los espacios vacíos.

Cerca de CV-24126

El pozo CV-24126 está posicionado dentro de los 100 pies, aproximadamente del límite delineado. El pozo CV-24126 registró temperaturas de pozos de LFG en el rango de 162 a 168 grados F durante junio y julio, pero las temperaturas promedio de los pozos de LFG medidas durante abril a julio para este pozo fue de solo 145 grados F.

La calidad del LFG en CV-24126 es mala, con una concentración de CH_4 promedio de solo un 6 por ciento desde enero hasta julio y la relación de $CH_4:CO_2$ en julio fue de 0.3. La concentración promedio de CO durante junio y julio fue de 2,660 ppm. La concentración de H_2 medida en julio fue de un 5.0 por ciento.

La calidad del LFG en el pozo contiguo CV-2333 también es mala, con una concentración de CH_4 promedio de solo un 3 por ciento desde mayo hasta julio y la concentración de CO promedio fue de 3,000 ppm durante este período. Los pozos contiguos CV-24127 y CV-24134 exhibieron concentraciones de CH_4 promedio del 24 y del 19 por ciento respectivamente durante mayo a julio. Los pozos contiguos CV-2333, CV-24127 y CV-24134 exhibieron concentraciones de H_2 durante julio de un 17, 6 y 14 por ciento, respectivamente. Sin embargo, las temperaturas promedio de los cabezales de pozos de LFG medidas en estos tres pozos durante mayo a julio son solo de 130, 112 y 148 grados F respectivamente. La temperatura máxima in situ de los desechos (medida en el intervalo de profundidad a 150 pies) en TP-19 ubicada junto al pozo CV-24134 fue de 162 grados F.

El Comité de la Reacción ha identificado movimiento de gases desde adentro de la zona reactiva a través de colectores horizontales como la potencial causa del aumento a corto plazo del calor en CV-24126 y la tendencia a largo plazo del gas de calidad marginal a mala en los tres pozos contiguos. Específicamente, el pozo CV-24126 está posicionado muy cerca de H-56 (a una elevación de 1240 pies), que se extiende cientos de pies en la zona reactiva, por lo tanto es posible que la fuente de calor y el gas de la reacción en este pozo vertical se compensen a una distancia y se esté transportando hacia los pozos por la tubería de los colectores horizontales y la zanja. Además, CV-2333, CV-24126 y CV-24127 tienen una bomba de desagote específica, por lo tanto el reciente aumento en las temperaturas y la presencia de mayor gas de la reacción (a diferencia del biogás típico) tal vez puedan atribuirse a la reducción de los niveles de lixiviados asentados en esta cercanía, que está permitiendo el movimiento de calor y gas por los espacios vacíos.

Cerca de CV-2541 y CV-24068

El pozo CV-2541 es un pozo nuevo que se instaló el 19 de junio de 2025 y está posicionado dentro de los 25 pies aproximadamente de la línea límitrofe delineada. Está posicionado inmediatamente contiguo al colector horizontal H-54 (a una elevación de 1225 pies) y al H-1564 (a una elevación de 1245 pies), ambos se extienden cientos de pies hacia la zona reactiva. El pozo CV-2541 registró inicialmente una temperatura de 194 grados F, pero la temperatura promedio desde la instalación es de 156 grados F. La calidad del LFG en CV-2541 es particularmente mala, con una concentración promedio de CH₄ de solo el 5 por ciento desde la instalación y la relación de CH₄:CO₂ en julio fue de 0.1. La concentración promedio de CO durante junio y julio fue de 2,167 ppm.

La temperatura promedio del LFG en el cabezal del pozo medida en el pozo contiguo CV-24068 durante mayo a julio fue de 148 grados F. La calidad del LFG en CV-24068 es marginal, con una concentración de CH₄ promedio del 16 por ciento durante mayo a julio. La concentración promedio de CO durante mayo a julio fue de 1,998 ppm. La concentración de H₂ medida en el pozo CV-24068 durante julio fue del 6 por ciento.

Las temperaturas promedio en los cabezales de pozo de LFG medidas en los pozos contiguos CV-24066 y CV-24079 durante mayo a julio fueron de 112 y 155 grados F, respectivamente. Las concentraciones de H₂ medidas en los pozos CV-24066 y CV-24079 durante julio fueron del 2 y del 4 por ciento, respectivamente.

Considerando que las temperaturas más recientes son relativamente bajas para las condiciones del ETLF, además de la proximidad a los colectores horizontales y al hecho de que el CV-2541 solo fue monitoreado en algunas instancias desde la instalación de mediados de junio, el Comité de la Reacción no cree que se justifique un ajuste en los límites de la Zona Reactiva que incluya las partes de la huella de desechos que incluye el CV-2541 y el CV-24068 en este momento.

DATOS DE LAS SONDAS DE MONITOREO DE TEMPERATURA

El Comité de la Reacción revisó las mediciones de temperatura registradas durante julio de 2025 utilizando las sondas de monitoreo de temperatura in-situ. A julio de 2025, seis de las 32 sondas (TP-2, 3, 9, 11, 15 y 21) están dentro del alcance estimado actual de las condiciones del ETLF (línea de puntos magenta). De las veintisiete (26) sondas restantes colocadas fuera de los límites, doce sondas se encuentran ubicadas dentro de una proximidad relativamente cercana (dentro de los 200 pies) de este límite. La opinión del Comité de la Reacción es que las temperaturas registradas por las 26 sondas fuera del límite durante julio de 2025 no son indicios de una reacción de la subsuperficie y no justifica una decisión de ajustar el límite de la Zona Reactiva en este momento.

El Comité de la Reacción continúa observando muy de cerca las fluctuaciones de temperatura en TP-8 e indicó que casi todos los intervalos de la profundidad exhibieron una reducción en la temperatura de aproximadamente 10 grados F durante las seis últimas semanas, que es consistente con las condiciones de ETLF. El Comité de la Reacción continúa observando muy de cerca los sutiles aumentos en las temperaturas en TP-13 para evaluar si constituyen tendencias consistentes con las condiciones de ETLF en este lugar. Sin embargo, las temperaturas de LFG registradas en el cabezal del pozo de LFG ubicado en el mismo lugar (CV-24073) continúan siendo inferiores a 160 grados F.

El Comité de la Reacción notó importantes reducciones en las temperaturas máximas en las siguientes sondas de monitoreo de temperatura ubicadas dentro de la extensión estimada actual de las condiciones de ETLF:

- TP-9: La temperatura máxima se redujo de 219 a 209 grados F durante el período de 4 semanas del 26 de junio al 24 de julio de 2025;
- TP-15: La temperatura máxima se redujo de 198 a 188 grados F durante el período de 12 semanas del 1 de mayo al 24 de julio de 2025;
- TP-21: La temperatura máxima se redujo de 255 a 214 grados F durante el período de 12 semanas del 1 de mayo al 24 de julio de 2025;

El Comité de la Reacción evaluó las temperaturas máximas durante 30 días registradas en TP-24, TP-26, TP-29, TP-30 y TP-31, que se han mantenido relativamente consistentes durante el período de 12 semanas previo del 1 de mayo al 24 de julio de 2025. El Comité de la Reacción notó una diferenciación entre las temperaturas máximas en 30 días en estas cinco sondas, comparadas con las temperaturas máximas en 30 días medidas en las tres sondas dentro de la extensión estimada actual de las condiciones de ETLF (línea de puntos magenta), específicamente TP-3, TP-9 y TP-21. En base a esta diferenciación, además de considerar los otros criterios relevantes y parámetros de datos, el Comité de la Reacción no cree que se justifique en este momento un ajuste en el límite de la Zona Reactiva que incluya las partes de la huella de desechos que incluya TP-24, TP-26, TP-29, TP-30 y TP-31.

CONCENTRACIONES DE HIDRÓGENO

El Comité de Reacción también evaluó la concentración de hidrógeno en el LFG durante julio de 2025. Recordamos que ciertos pozos posicionados al Sur este del límite de la Zona Reactiva (donde se reactivó la bomba de desagüe) habían demostrado periódicamente algún aumento en el contenido de hidrógeno en el LFG durante la revisión del Comité de Reacción de los datos de los meses anteriores, que fue un caso similar para los datos de julio. El Comité de la Reacción notó en su revisión de los datos que, excepto el pozo CV-24126, estos pozos no exhibieron temperaturas elevadas. No hubo evidencia de mayor calor que es algo típico en condiciones de ETLF presentes en los pozos que exhiben concentraciones de hidrógeno atípicas (excepto el pozo CV-24-126). Como se notó previamente, el Comité de la Reacción sospecha que este aumento en el contenido de hidrógeno podría atribuirse a los sustanciales desagües que se están logrando en toda la Zona Reactiva y podría estar asociado al movimiento de gas desde adentro de la Zona Reactiva por los colectores horizontales cercanos existentes. Por lo tanto, la presencia de hidrógeno elevado en estos lugares aislados no sugieren que las condiciones de ETLF se estén expandiendo hacia el sur y hacia el este del límite delineado. Por lo tanto, el Comité de Reacción no cree que se justifique un ajuste en el límite de la Zona Reactiva en este momento.

CONCLUSIÓN

Como se presenta en el Plano incluido como **Adjunto A**, el alcance estimado de las condiciones de ETLF (línea de puntos de color magenta) está completamente contenida dentro del límite del Área de Reacción decretado en la SOFA (línea sólida negra). Como las condiciones del ETLF están completamente contenidas dentro del límite del Área de Reacción y no experimentaron ninguna celda nueva, el Comité de Reacción no encuentra ninguna base para modificar el límite del Área de Reacción como se indica en la Condición 9a, en este momento.

No hubo ninguna opinión disidente entre los miembros del Comité de Reacción sobre esta determinación mensual. Los datos de respaldo se presentan en el Plano incluido como **Adjunto A**. Las mediciones de temperaturas máximas registradas en las 32 sondas de monitoreo de temperatura de los desechos in-situ durante julio se presentan en el **Adjunto B** en formato gráfico. Las temperaturas de los pozos de LFG

registradas en los pozos de extracción para toda la huella del Vertedero se reflejan en el mapa del rango de gradientes isotérmicas presentado como **Adjunto C**. Las relaciones de CH₄:CO₂ medidas en los cabezales de los pozos de LFG cerca del límite de la Zona Reactiva indicado por los datos se muestran en el mapa de rangos presentado como **Adjunto D**. Las concentraciones de H₂ medidas en los cabezales de los pozos de LFG cerca del límite de la Zona Reactiva indicado por los datos se muestran en el mapa de rangos presentado como **Adjunto E**. Las concentraciones de CO medidas en los cabezales de los pozos de LFG cerca del límite de la Zona Reactiva indicado por los datos se muestran en el mapa de rangos presentado como **Adjunto F**. Los valores isopáquicos del asentamiento de la superficie medidos trimestralmente (los del 2 de abril de 2025 comparados con los del 2 de julio de 2025) cerca del límite de la Zona Reactiva indicada por los datos se muestran en el mapa de rangos presentado como **Adjunto G**. La base de datos electrónica y la plataforma que guarda los registros permite que estas mediciones se descarguen en un formato de hoja de cálculo tabular, que puede presentarse al Distrito de Gestión de la Calidad del Aire de la Costa Sur en una carátula separada, si se solicita.

Por favor, comuníquese con el firmante si tiene preguntas o si necesita más información.

Atentamente,



Robert E. Dick, PE, BCEE
Vicepresidente Sénior
SCS Engineers



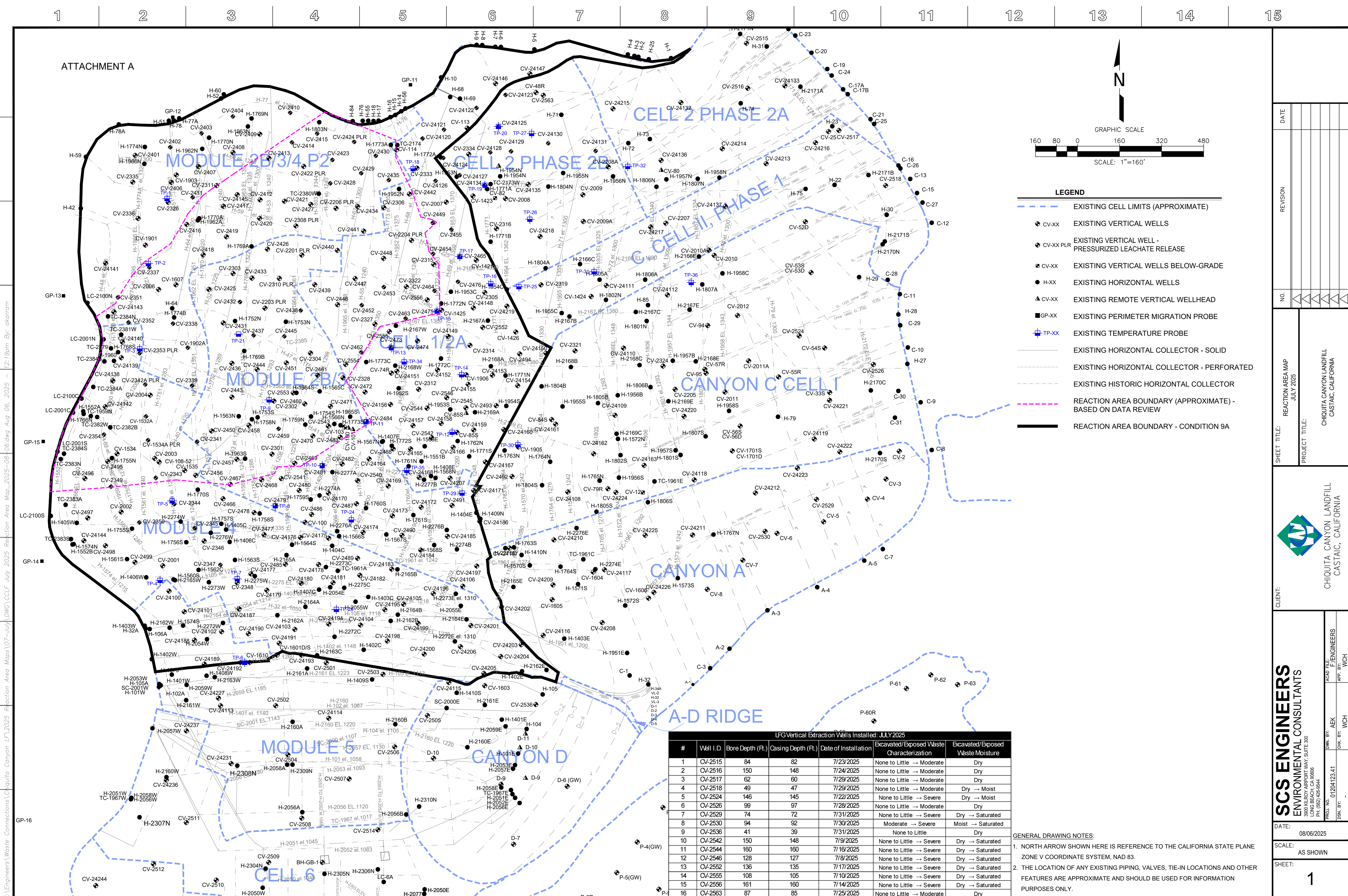
Patrick S. Sullivan, BCES, CCP
Vicepresidente Sénior
SCS Engineers

RED/PSS

cc: Nathaniel Dickel, SCAQMD
Christina Ojeda, SCAQMD
Pablo Sánchez Soria, PhD, CIH, CTEH
Neal Bolton, PE, Blue Ridge Services, Inc.
Richard Pleus, PhD, Intertox
Srividhya Viswanathan, PE, SCS Engineers

Adjuntos:

- Adjunto A -- Mapa del Área de Reacción
- Adjunto B – Datos de las Sondas de Monitoreo de Temperatura de los Desechos In-Situ
- Adjunto C – Mapa de Distribución de Gradiente Isotérmico
- Adjunto D – Mapa del Rango de Metano a Carbono en el Cabezal del Pozo
- Adjunto E – Mapa del Rango de Hidrógeno en el Cabezal del Pozo
- Adjunto F – Mapa del Rango de Monóxido de Carbono en el Cabezal del Pozo
- Adjunto G – Mapa del Rango Isopáquico del Asentamiento



ADJUNTO B

Perfiles de Temperatura Máxima en Cabezas de Pozos de Desechos Sólidos Durante 6 Semanas

del 12/6/2025 al 23/7/2025

Desde el 17 de julio de 2025 hasta el 23 de julio de 2025 hubo dos reducciones de temperatura registradas y hubo tres aumentos de temperatura registrados que activaron los límites de aviso establecidos por la carta de la LEA del 4 de octubre de 2024.

Además, al 4 de abril de 2025, se instalaron y están en línea doce TMPs nuevas (TMP-21, TMP-24, TMP-25, TMP-26, TMP-27, TMP-28, TMP-29, TMP-30, TMP-31, TMP-32, TMP-34 y TMP-35). Ninguna de estas nuevas doce TMPs indican que hayan ocurrido temperaturas de reacción fuera del límite de la zona reactiva dirigido por datos actualmente delineado y las cuatro TMPs que pudieron perforarse dentro de los 25 pies del revestimiento (TMP-24, TMP-27, TMP-31 y TMP-32) indican temperaturas significativamente más frescas en la termocupla más profunda, como se previó, debido al enfriamiento de la tierra subyacente.

Chiquita proporciona las siguientes actualizaciones:

- TP-03
 - La termocupla de 30 pies mostró una reducción en la temperatura máxima de 10°F de 221°F a 211°F desde el 19 de julio hasta el 21 de julio.
- TP-15
 - La termocupla de 30 pies indicó una reducción en la temperatura máxima de 13°F de 174°F a 161°F desde el 12 de julio hasta el 19 de julio y después un aumento en la temperatura máxima de 11°F de 161°F a 172°F desde el 19 de julio hasta el 23 de julio.
 - La termocupla de 45 pies mostró un aumento en la temperatura máxima de 12°F de 174°F a 186°F desde el 16 de Julio hasta el 23 de julio.
 - La termocupla de 75 pies mostró un aumento en la temperatura máxima de 10°F de 178°F a 188°F desde el 16 de Julio hasta el 23 de julio.
- TP-16
 - La termocupla a 45 pies se mantuvo consistente con las temperaturas registradas previas. Como se indicó en las presentaciones previas, la termocupla a 45 pies indicó una lectura anómala el 22 de junio de 222°F en una sola lectura de una hora; sin embargo, las lecturas posteriores fueron consistentes con las temperaturas registradas previas y ninguna otra termocupla en TP-16 mostró cambios de temperatura de este tipo, indicando que este aumento registrado de la temperatura muy probablemente fue erróneo.

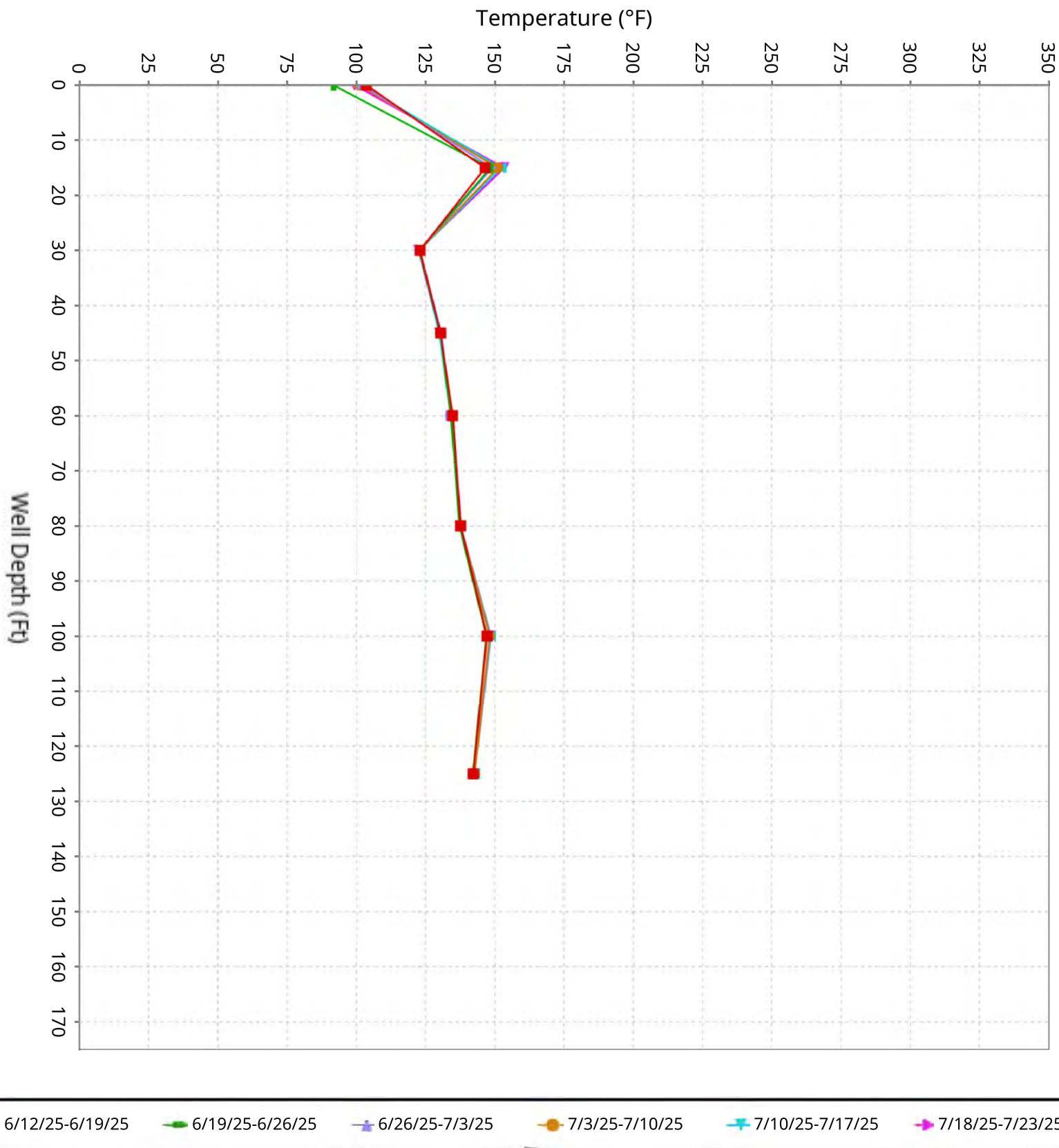
SCS ENGINEERS

07224053.00 | 24 de julio de 2025

274 Granite R Drive
Lancaster, PA 17601
717-550-6330

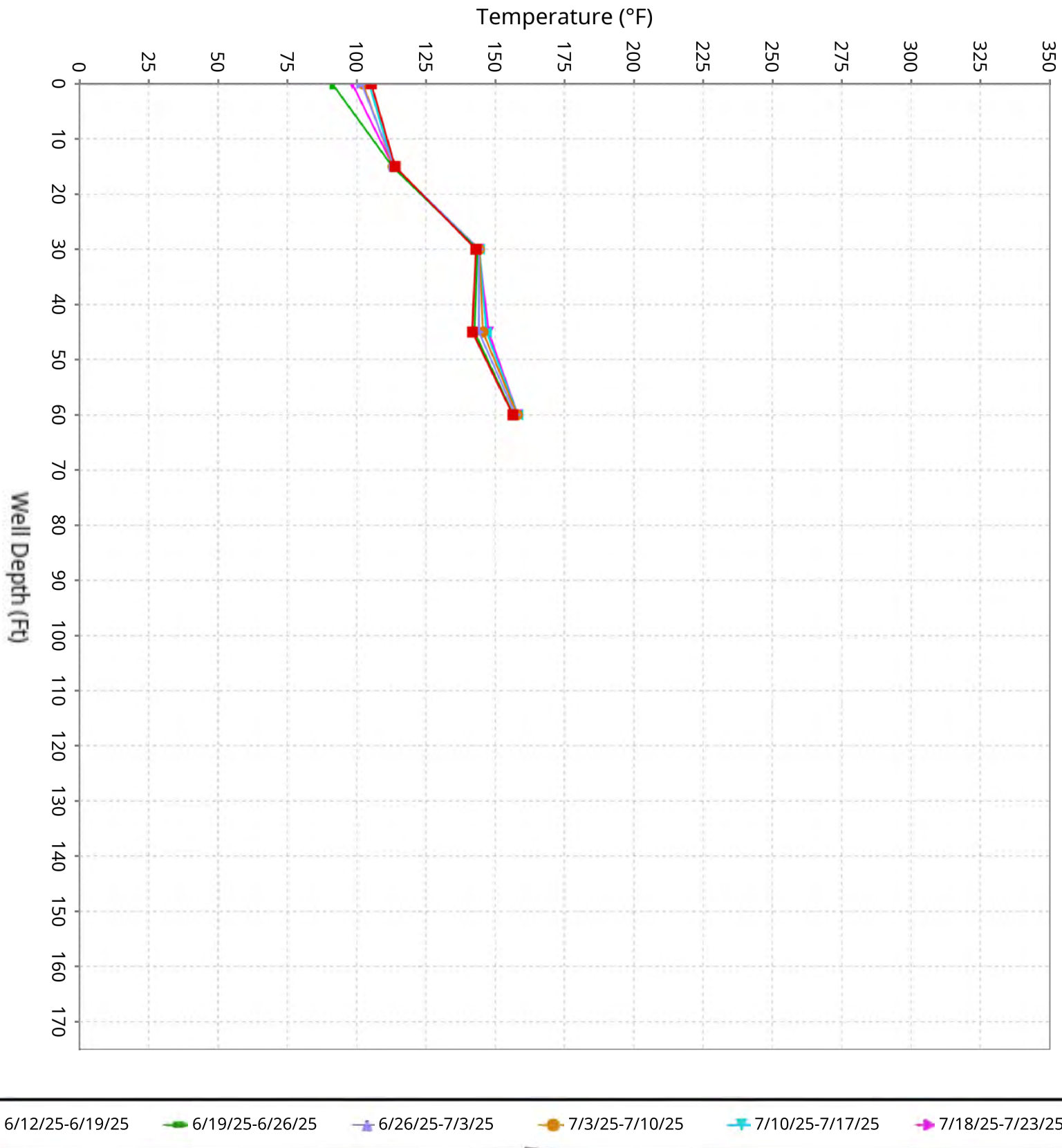
Vertical Temperature Profiles from Temperature Probes at Chiquita Landfill for TP-1

Maximum data for 6/12/2025 to 7/23/2025



Vertical Temperature Profiles from Temperature Probes at Chiquita Landfill for TP-2

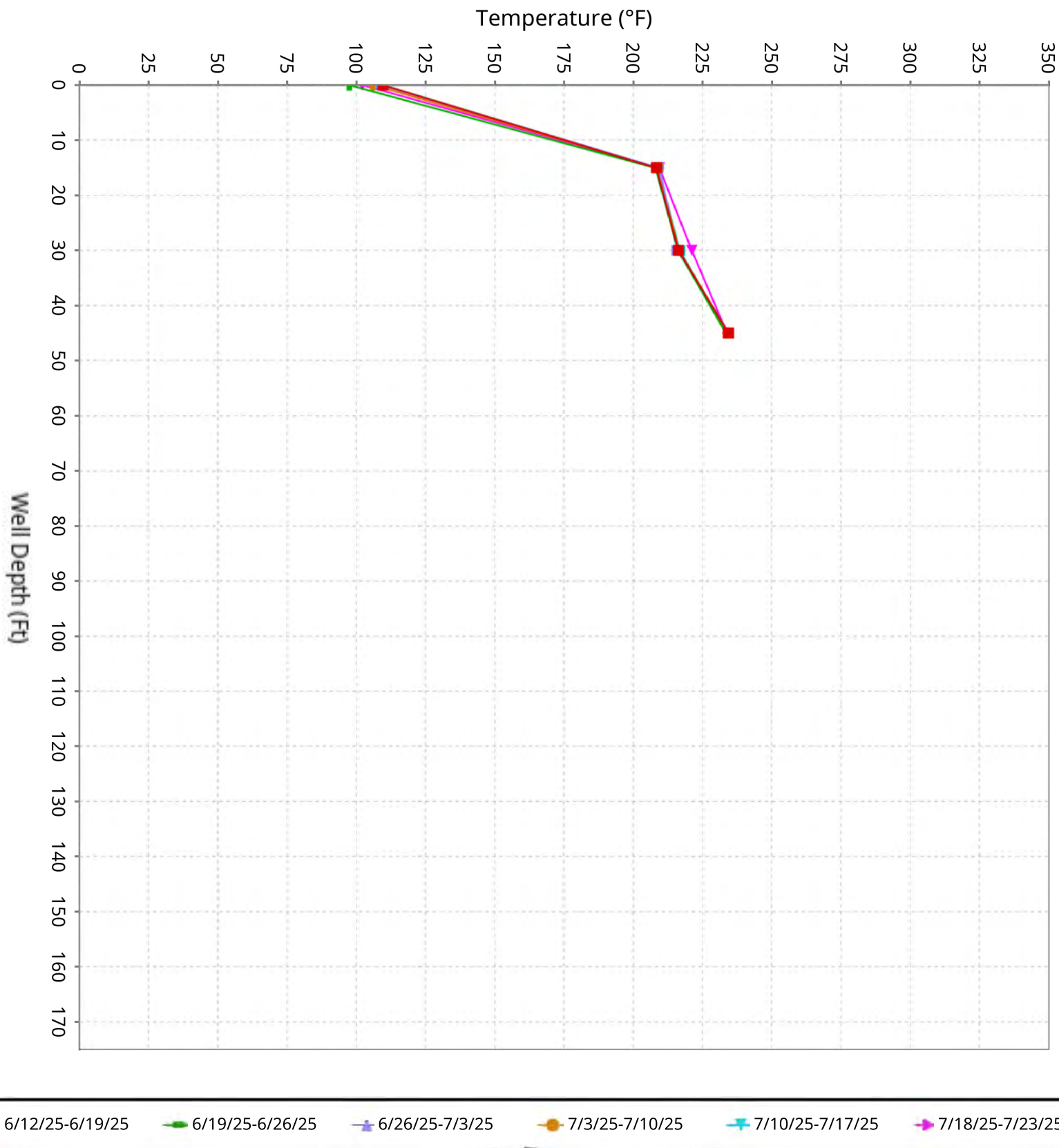
Maximum data for 6/12/2025 to 7/23/2025



■ 6/12/25-6/19/25 ■ 6/19/25-6/26/25 ■ 6/26/25-7/3/25 ■ 7/3/25-7/10/25 ■ 7/10/25-7/17/25 ■ 7/18/25-7/23/25

Vertical Temperature Profiles from Temperature Probes at Chiquita Landfill for TP-3

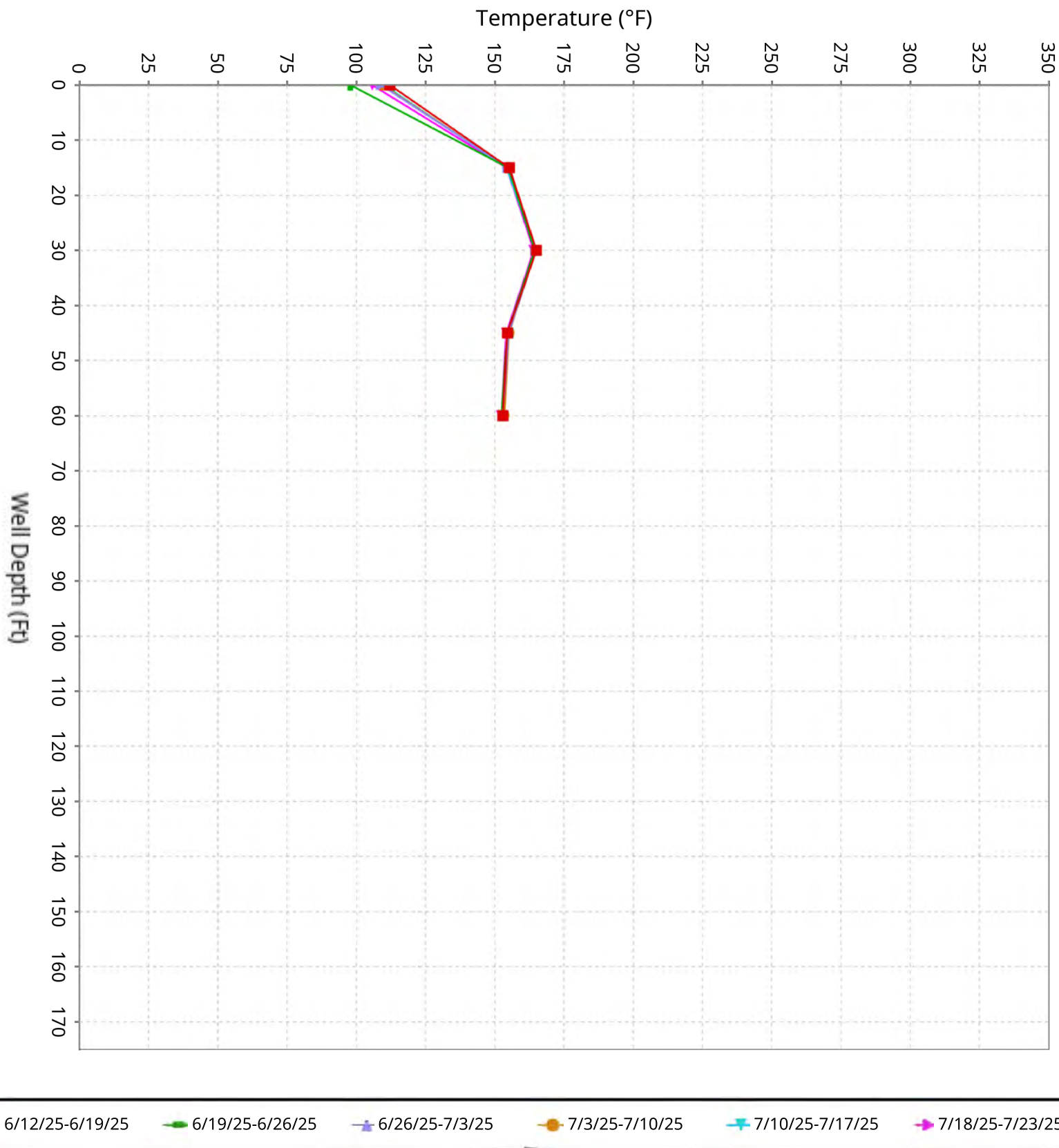
Maximum data for 6/12/2025 to 7/23/2025



■ 6/12/25-6/19/25 ■ 6/19/25-6/26/25 ■ 6/26/25-7/3/25 ■ 7/3/25-7/10/25 ■ 7/10/25-7/17/25 ■ 7/18/25-7/23/25

Vertical Temperature Profiles from Temperature Probes at Chiquita Landfill for TP-4

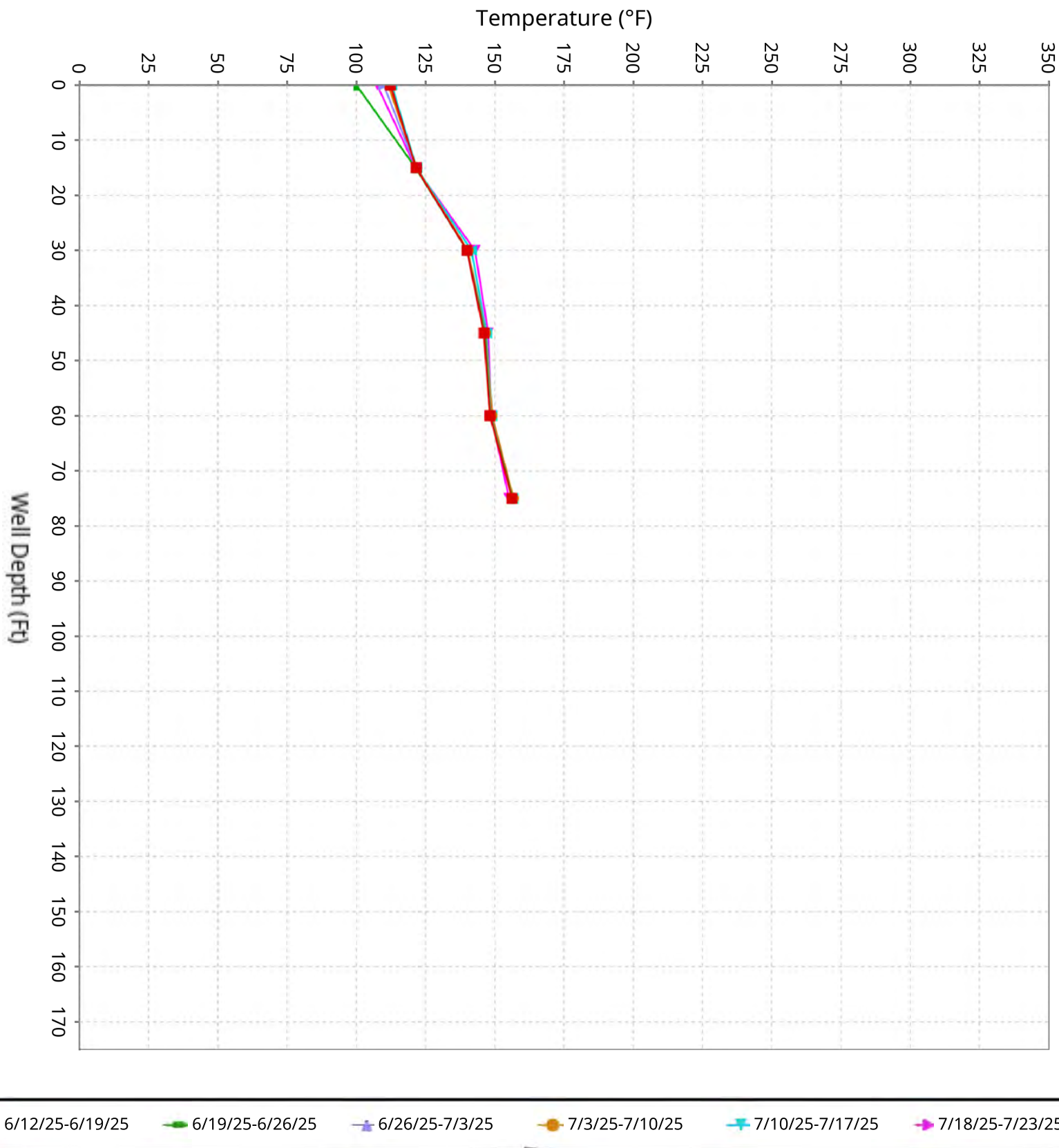
Maximum data for 6/12/2025 to 7/23/2025



■ 6/12/25-6/19/25 ■ 6/19/25-6/26/25 ■ 6/26/25-7/3/25 ■ 7/3/25-7/10/25 ■ 7/10/25-7/17/25 ■ 7/18/25-7/23/25

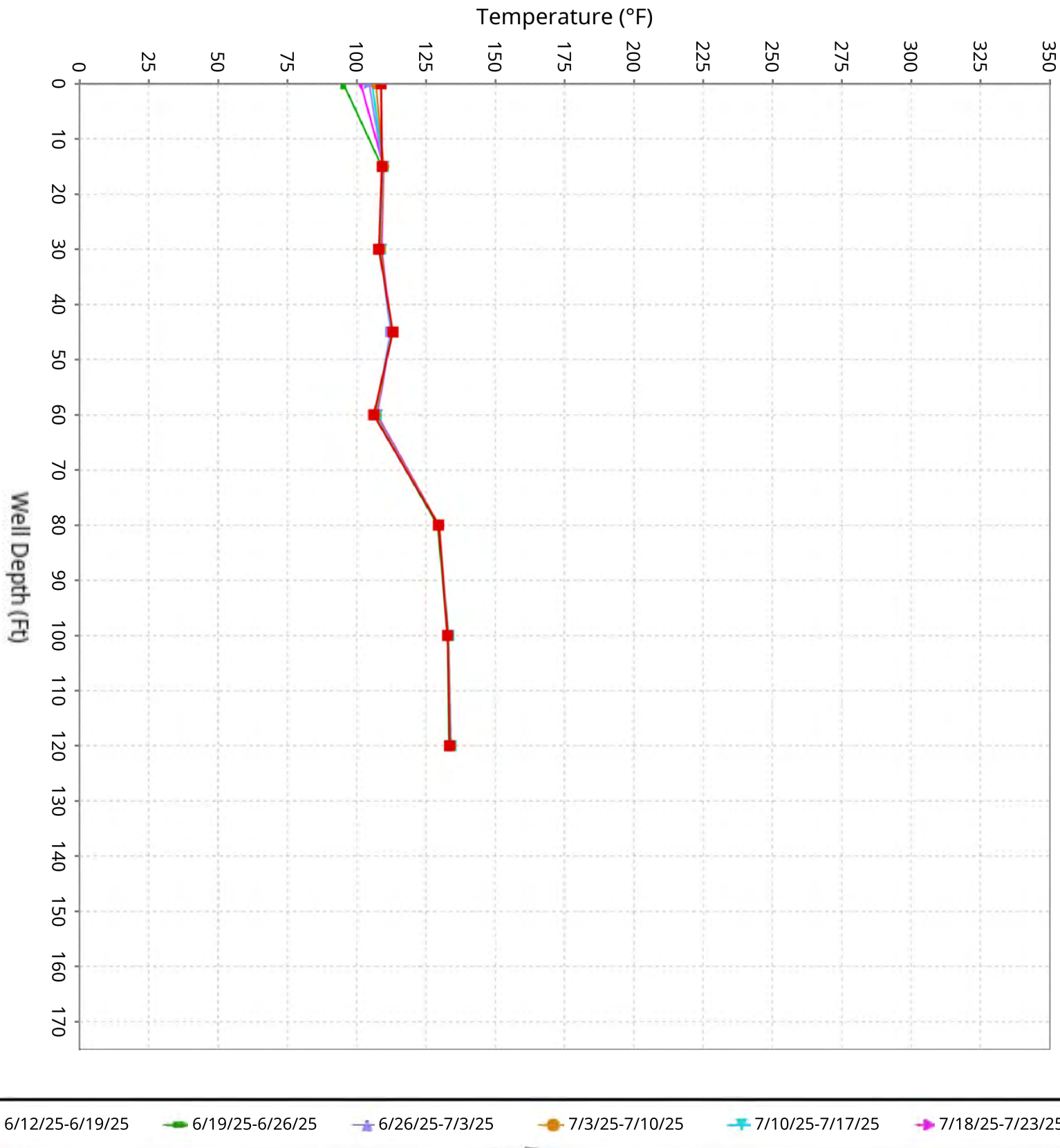
Vertical Temperature Profiles from Temperature Probes at Chiquita Landfill for TP-5

Maximum data for 6/12/2025 to 7/23/2025



Vertical Temperature Profiles from Temperature Probes at Chiquita Landfill for TP-6

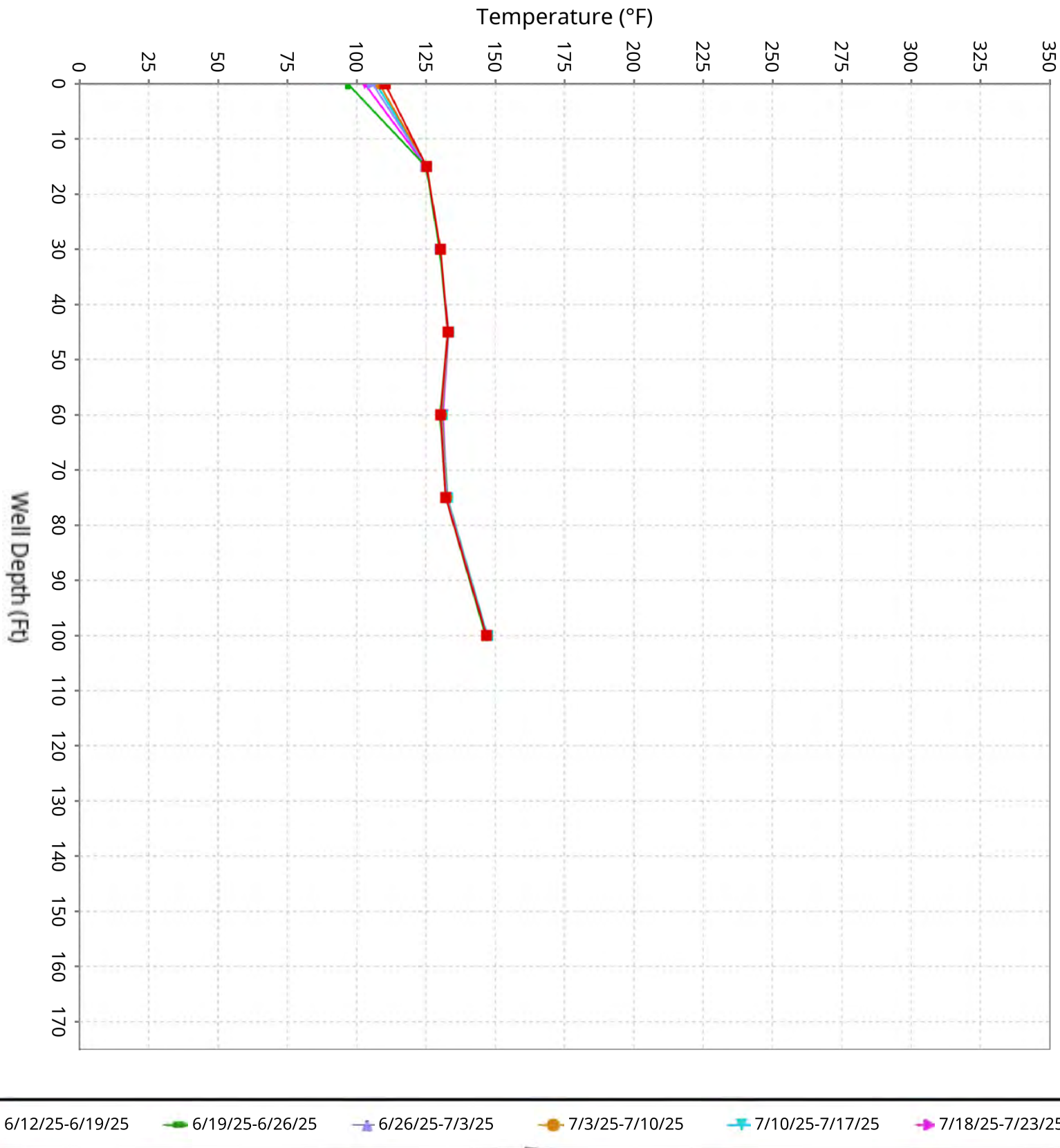
Maximum data for 6/12/2025 to 7/23/2025



■ 6/12/25-6/19/25 ■ 6/19/25-6/26/25 ■ 6/26/25-7/3/25 ■ 7/3/25-7/10/25 ■ 7/10/25-7/17/25 ■ 7/18/25-7/23/25

Vertical Temperature Profiles from Temperature Probes at Chiquita Landfill for TP-7

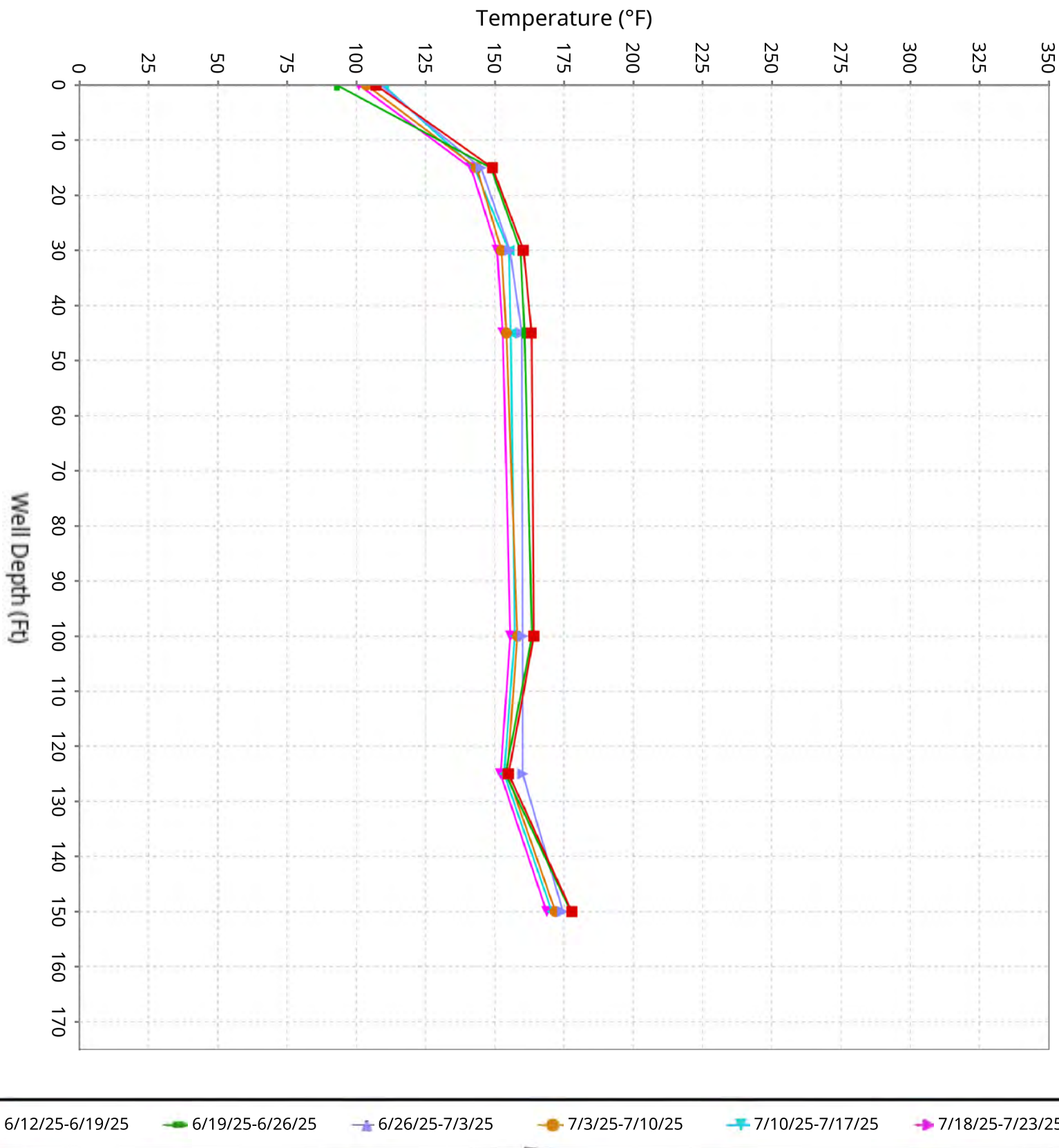
Maximum data for 6/12/2025 to 7/23/2025



■ 6/12/25-6/19/25 ■ 6/19/25-6/26/25 ■ 6/26/25-7/3/25 ■ 7/3/25-7/10/25 ■ 7/10/25-7/17/25 ■ 7/18/25-7/23/25

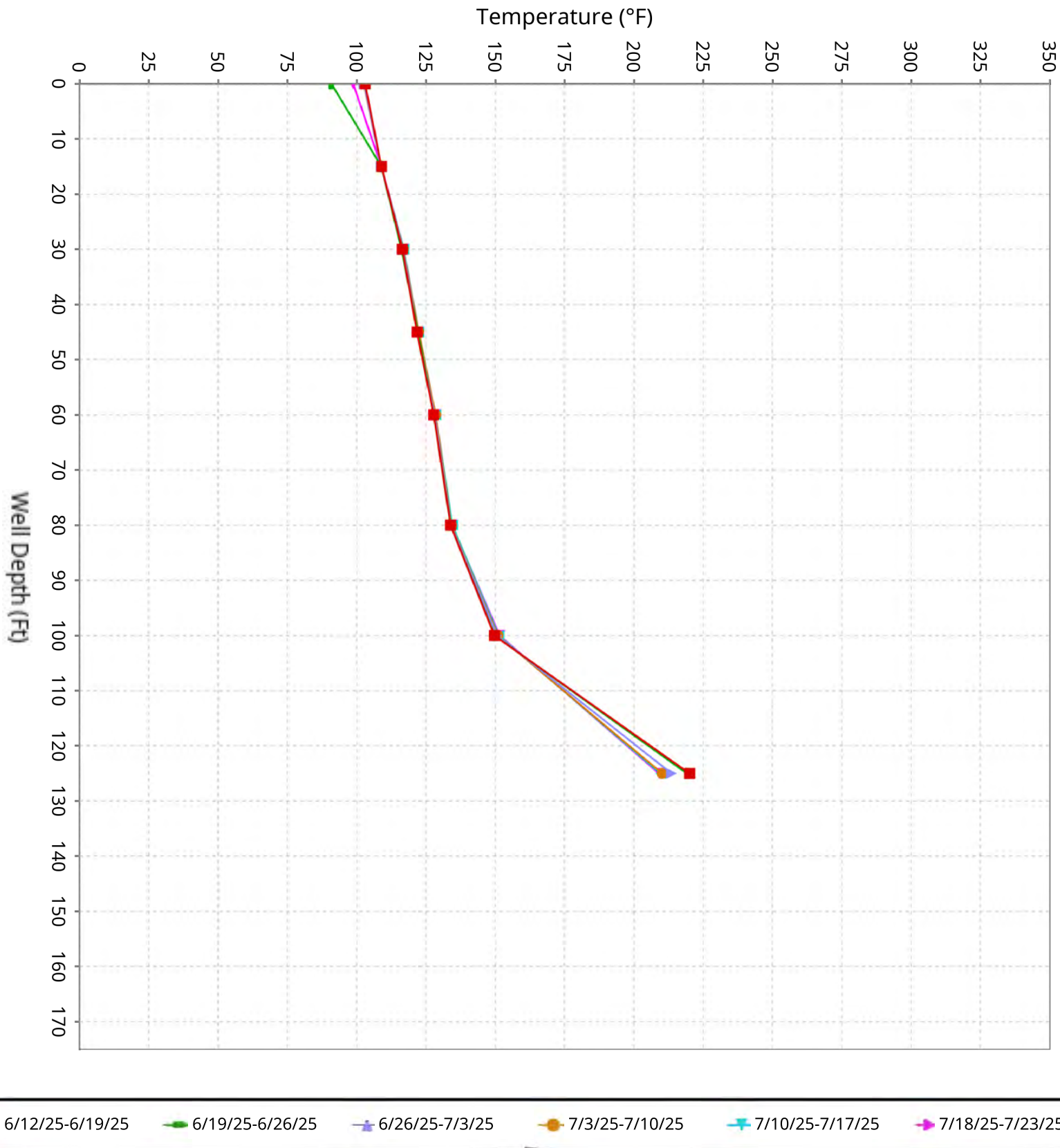
Vertical Temperature Profiles from Temperature Probes at Chiquita Landfill for TP-8

Maximum data for 6/12/2025 to 7/23/2025



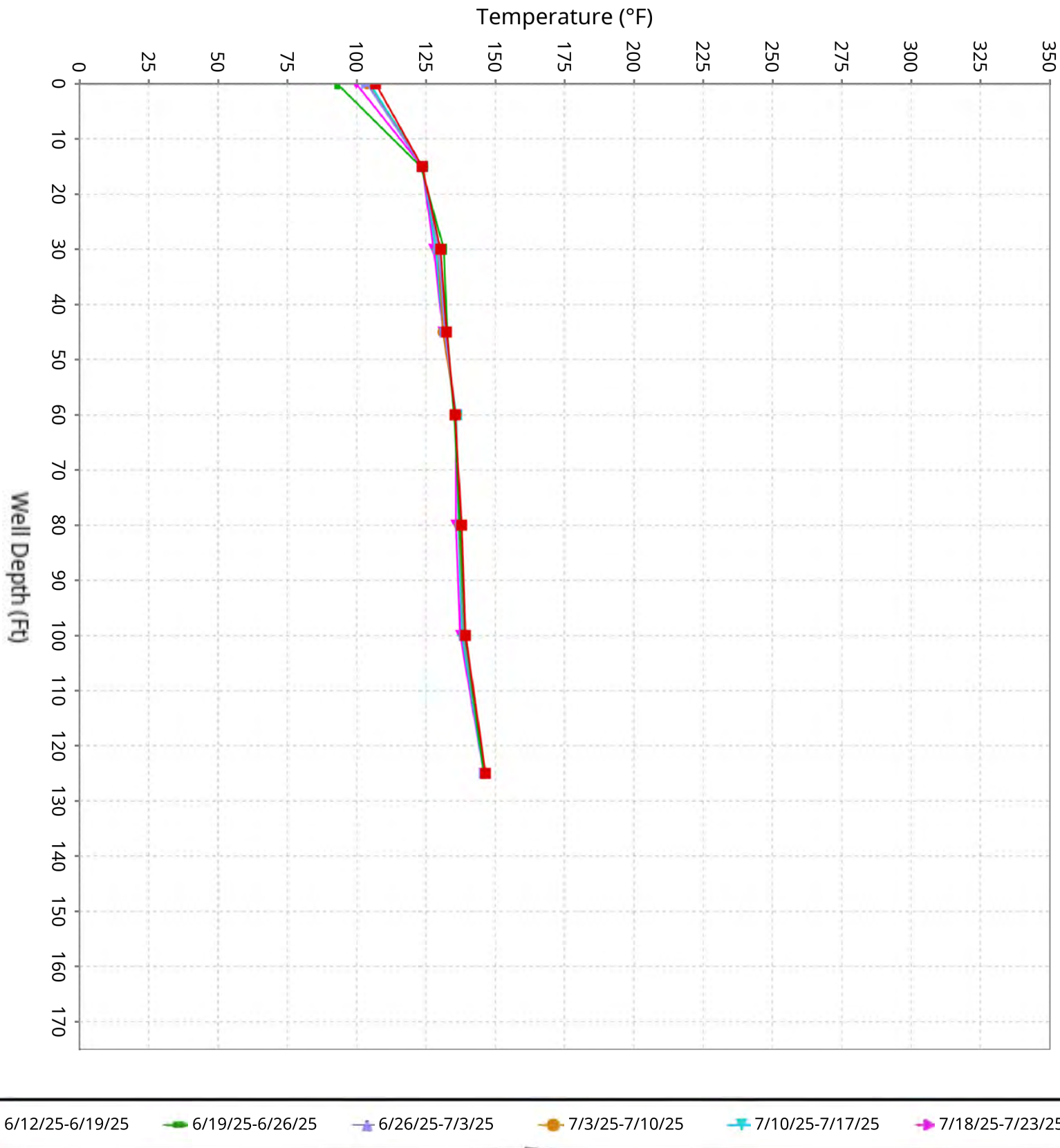
Vertical Temperature Profiles from Temperature Probes at Chiquita Landfill for TP-9

Maximum data for 6/12/2025 to 7/23/2025



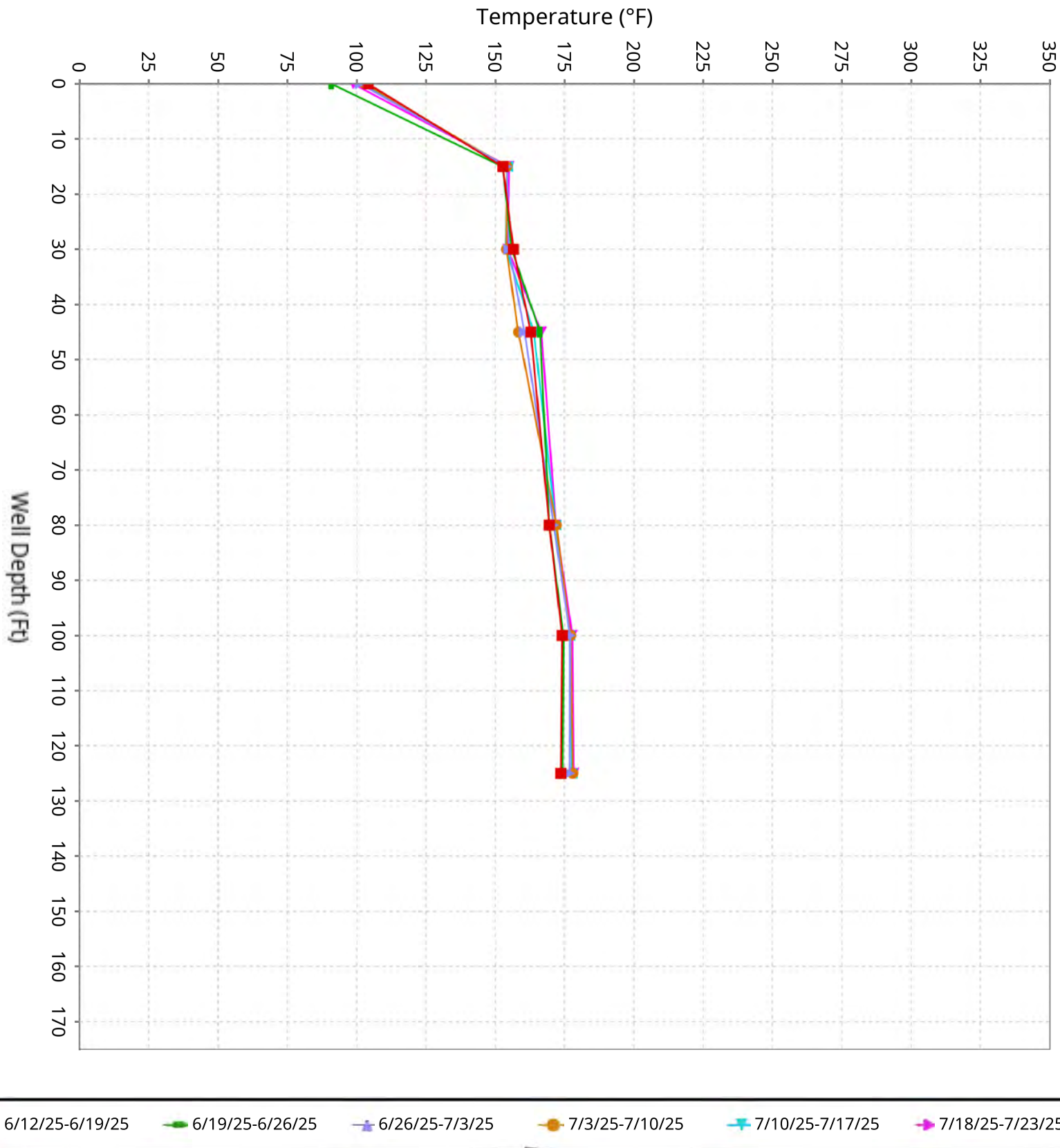
Vertical Temperature Profiles from Temperature Probes at Chiquita Landfill for TP-10

Maximum data for 6/12/2025 to 7/23/2025



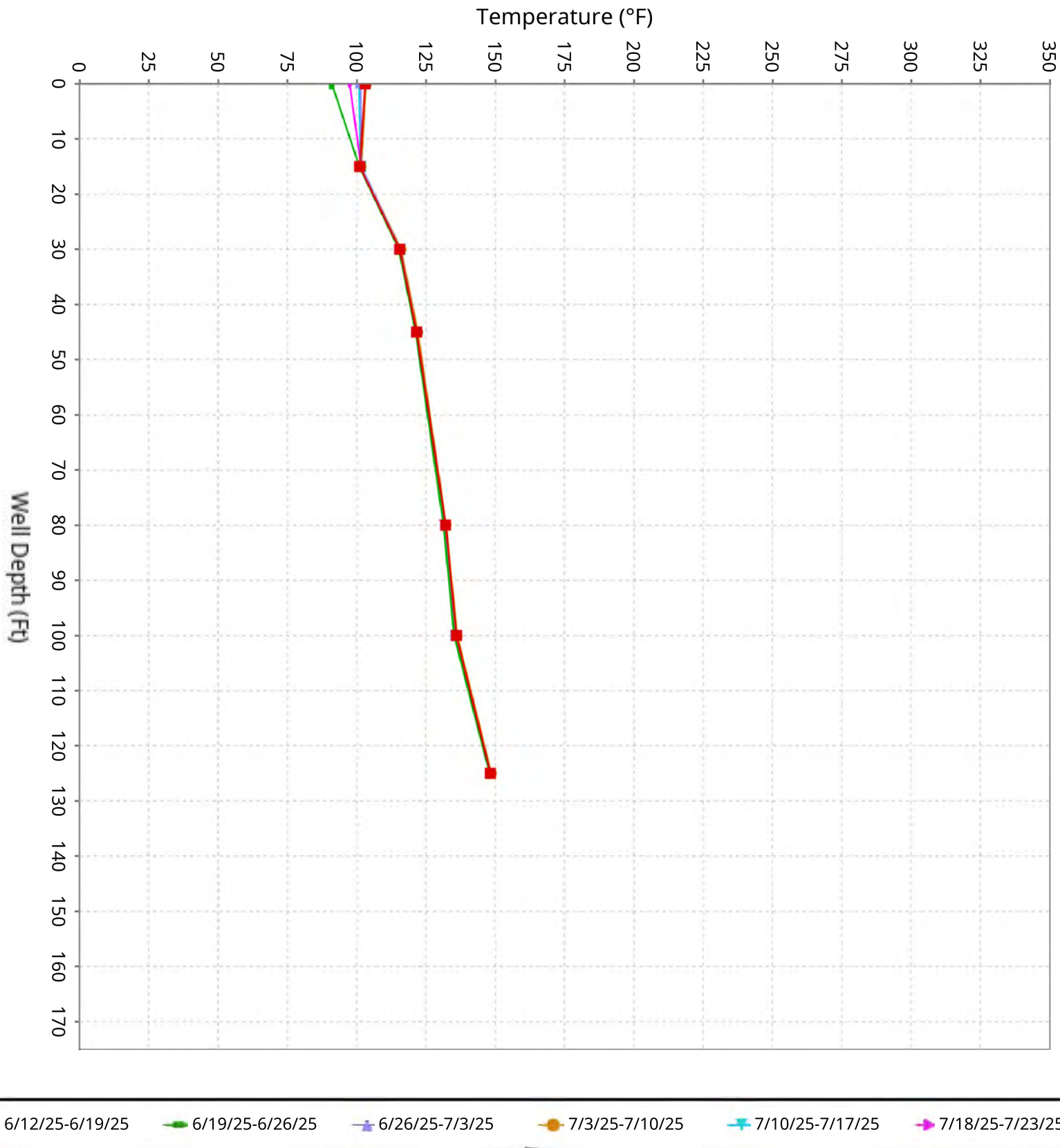
Vertical Temperature Profiles from Temperature Probes at Chiquita Landfill for TP-11

Maximum data for 6/12/2025 to 7/23/2025



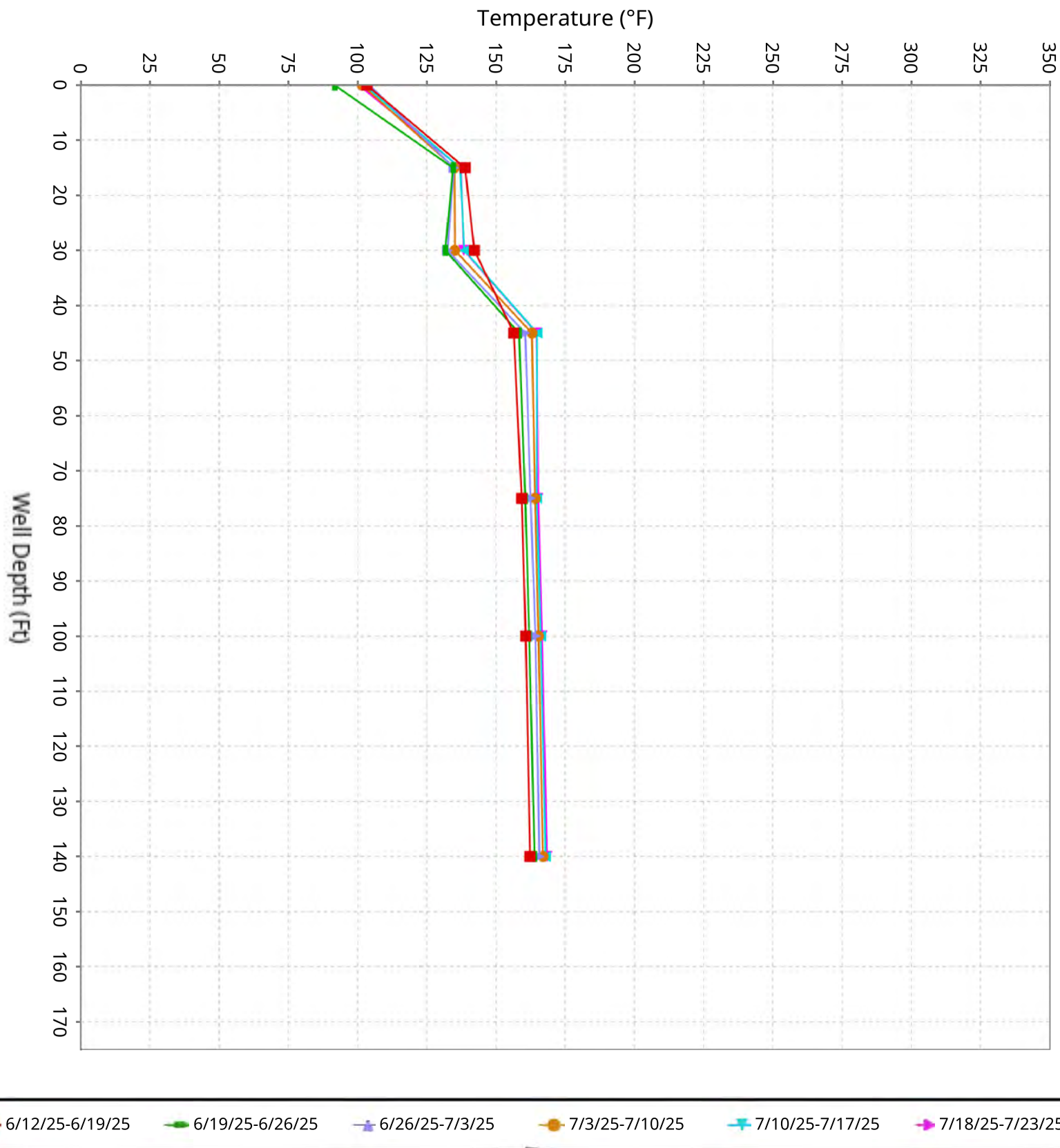
Vertical Temperature Profiles from Temperature Probes at Chiquita Landfill for TP-12

Maximum data for 6/12/2025 to 7/23/2025



Vertical Temperature Profiles from Temperature Probes at Chiquita Landfill for TP-13

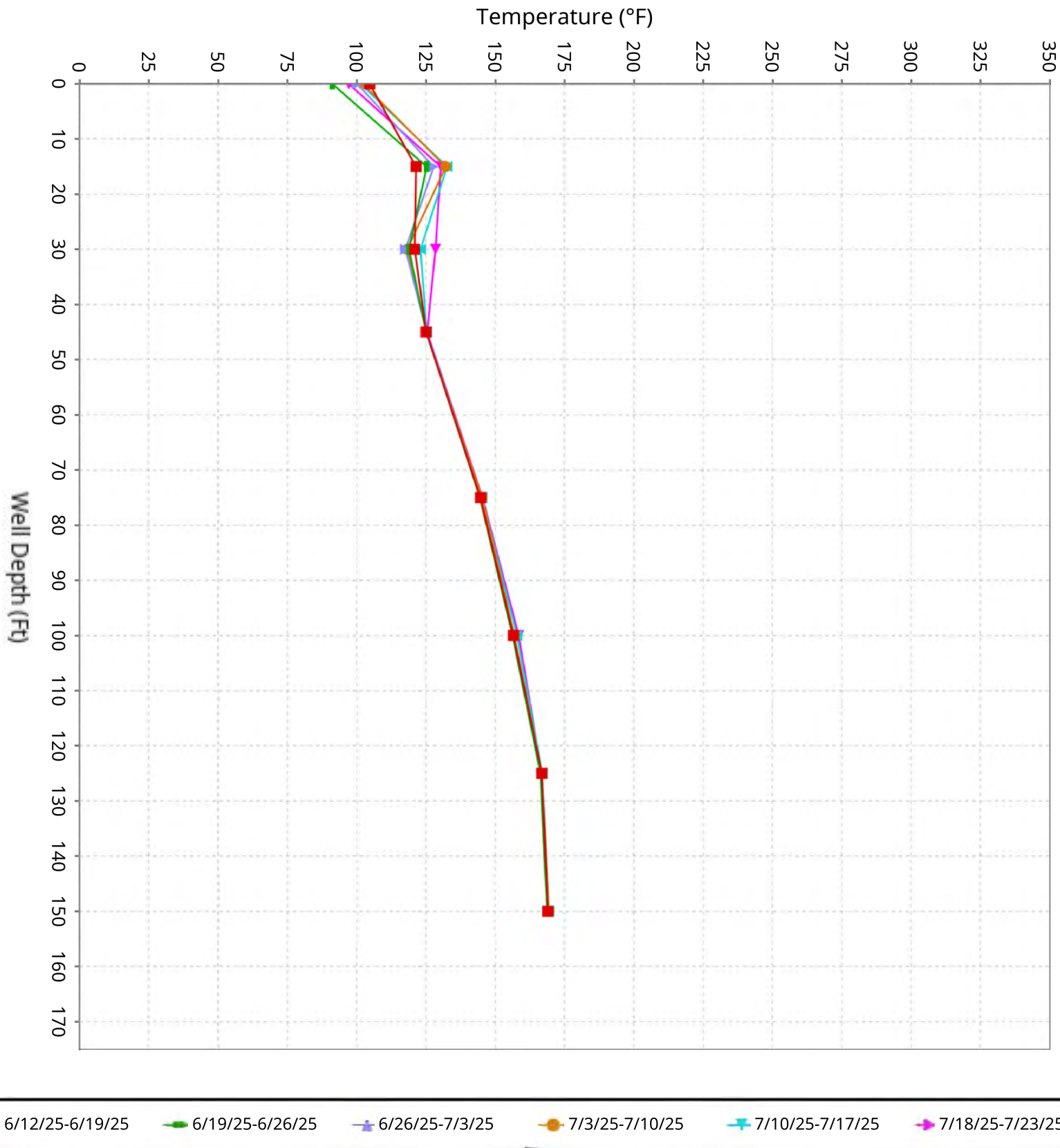
Maximum data for 6/12/2025 to 7/23/2025



■ 6/12/25-6/19/25 ■ 6/19/25-6/26/25 ■ 6/26/25-7/3/25 ■ 7/3/25-7/10/25 ■ 7/10/25-7/17/25 ■ 7/18/25-7/23/25

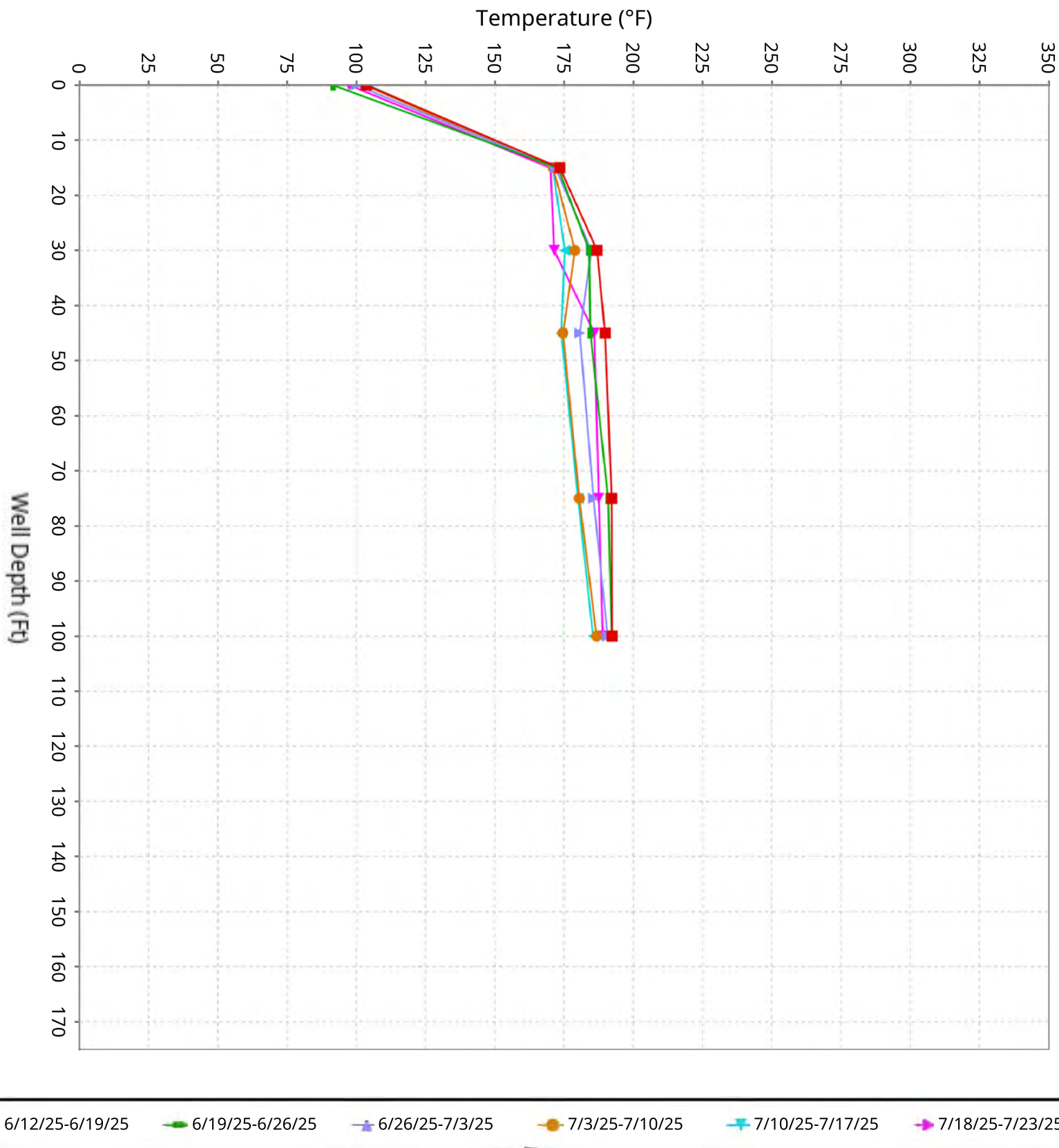
Vertical Temperature Profiles from Temperature Probes at Chiquita Landfill for TP-14

Maximum data for 6/12/2025 to 7/23/2025



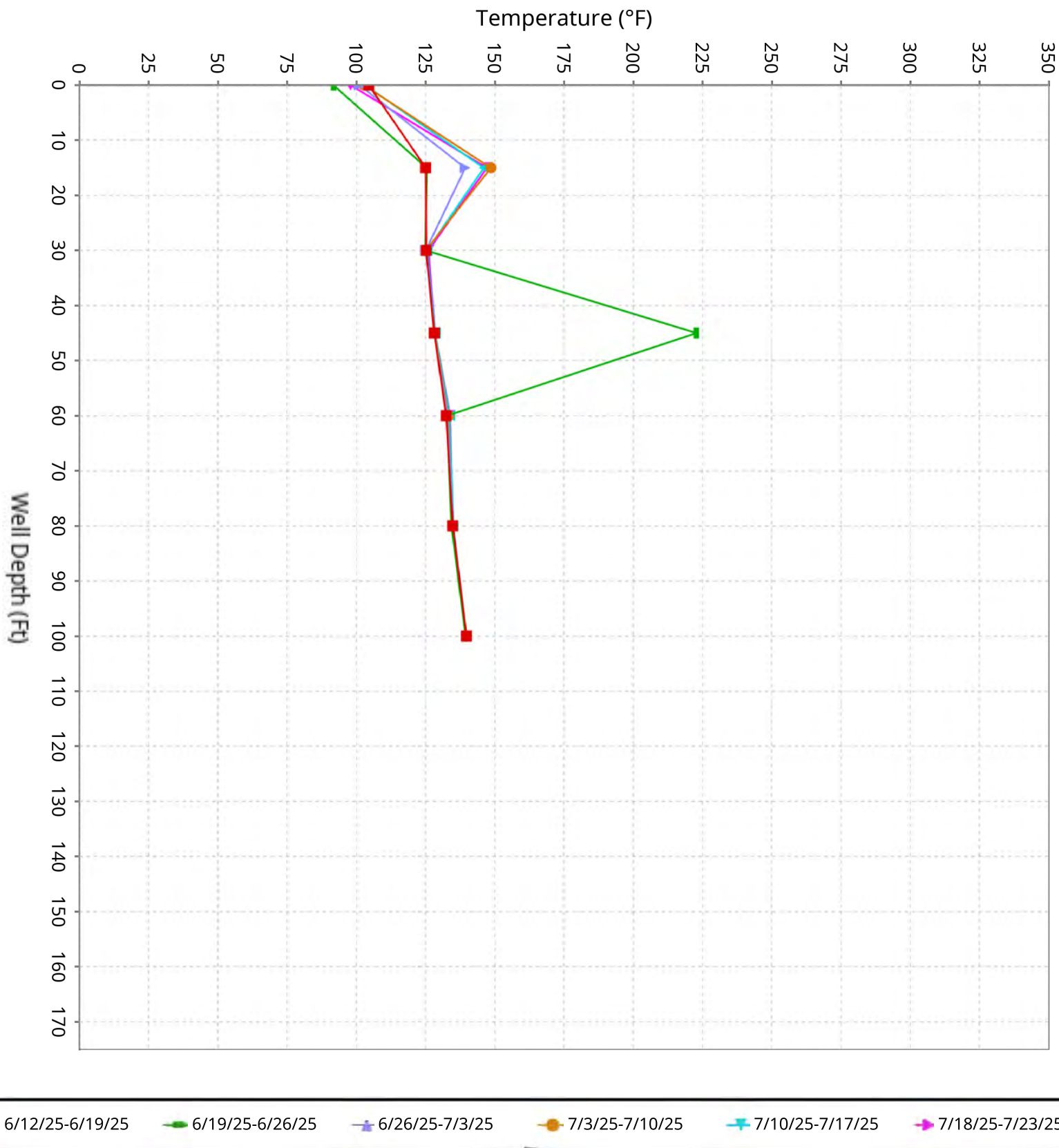
Vertical Temperature Profiles from Temperature Probes at Chiquita Landfill for TP-15

Maximum data for 6/12/2025 to 7/23/2025



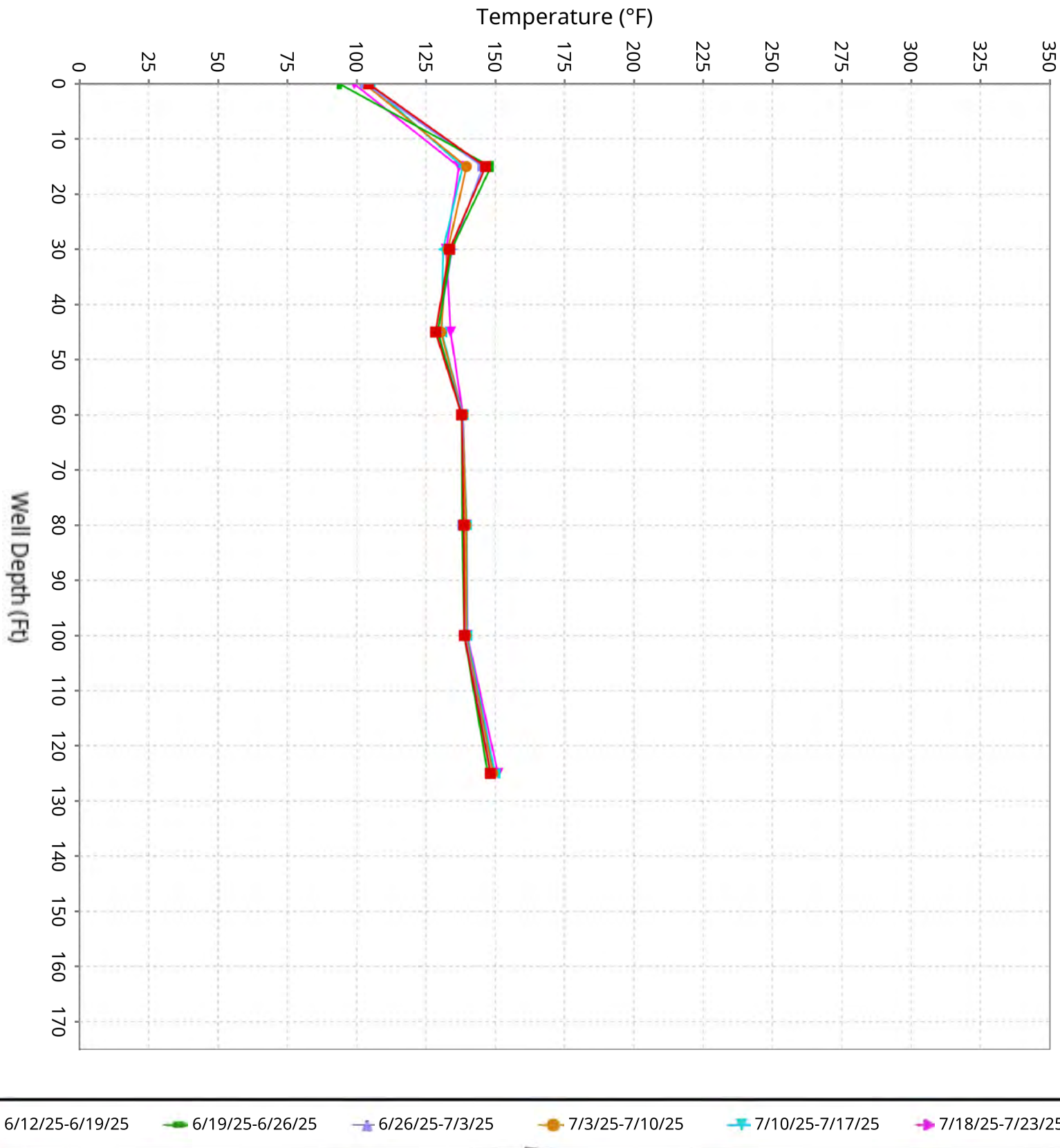
Vertical Temperature Profiles from Temperature Probes at Chiquita Landfill for TP-16

Maximum data for 6/12/2025 to 7/23/2025



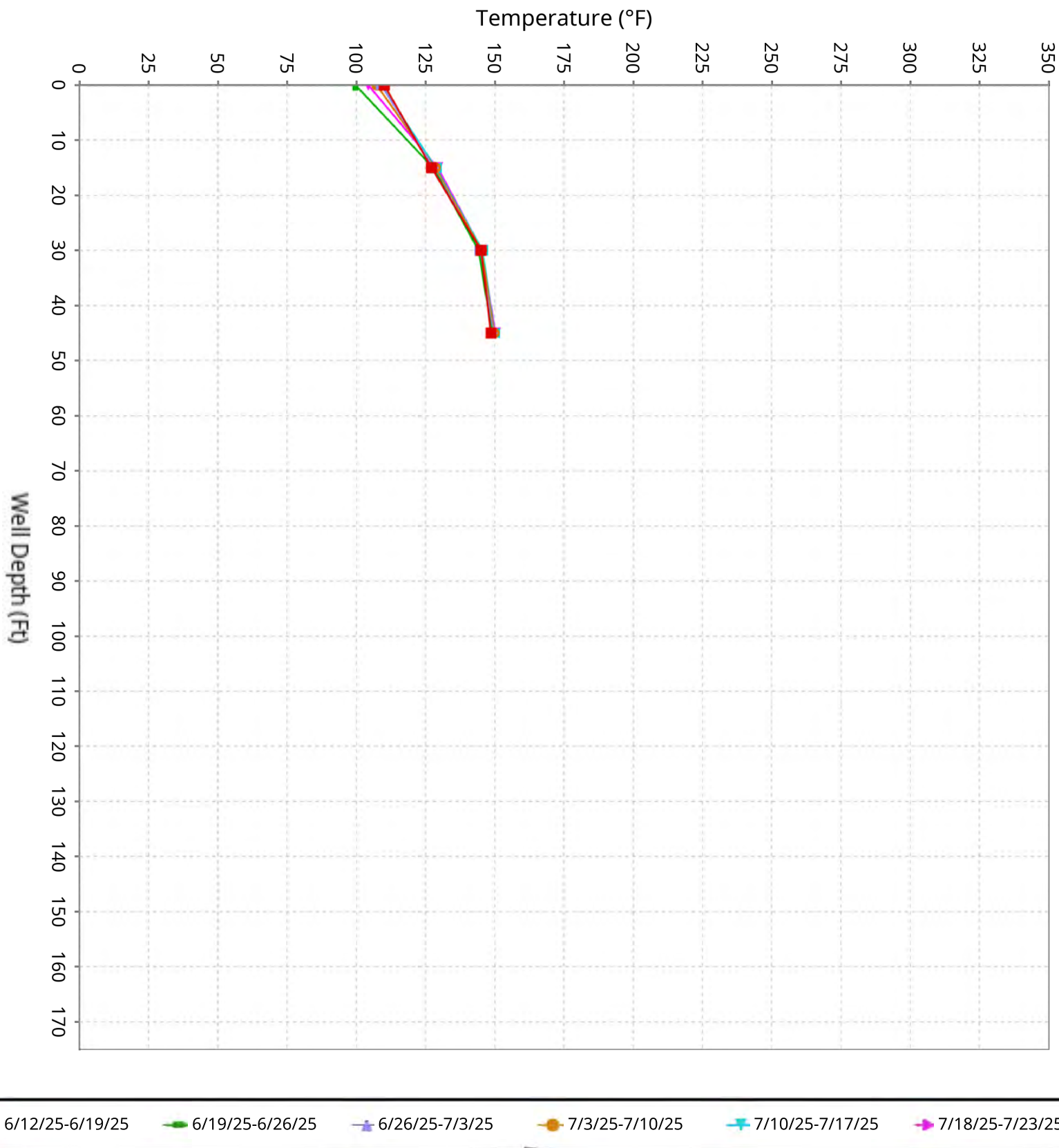
Vertical Temperature Profiles from Temperature Probes at Chiquita Landfill for TP-17

Maximum data for 6/12/2025 to 7/23/2025



Vertical Temperature Profiles from Temperature Probes at Chiquita Landfill for TP-18

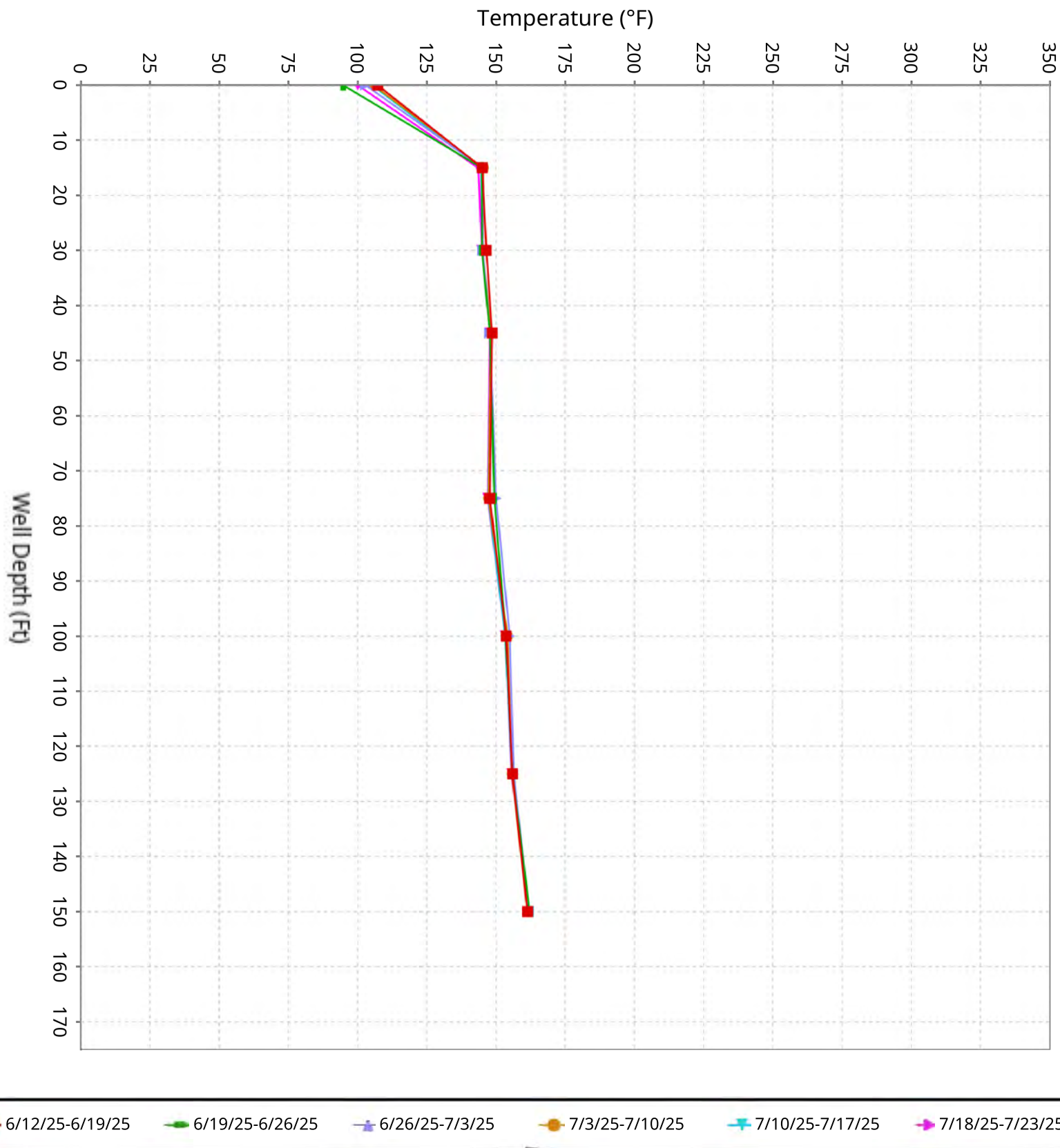
Maximum data for 6/12/2025 to 7/23/2025



■ 6/12/25-6/19/25 ■ 6/19/25-6/26/25 ■ 6/26/25-7/3/25 ■ 7/3/25-7/10/25 ■ 7/10/25-7/17/25 ■ 7/18/25-7/23/25

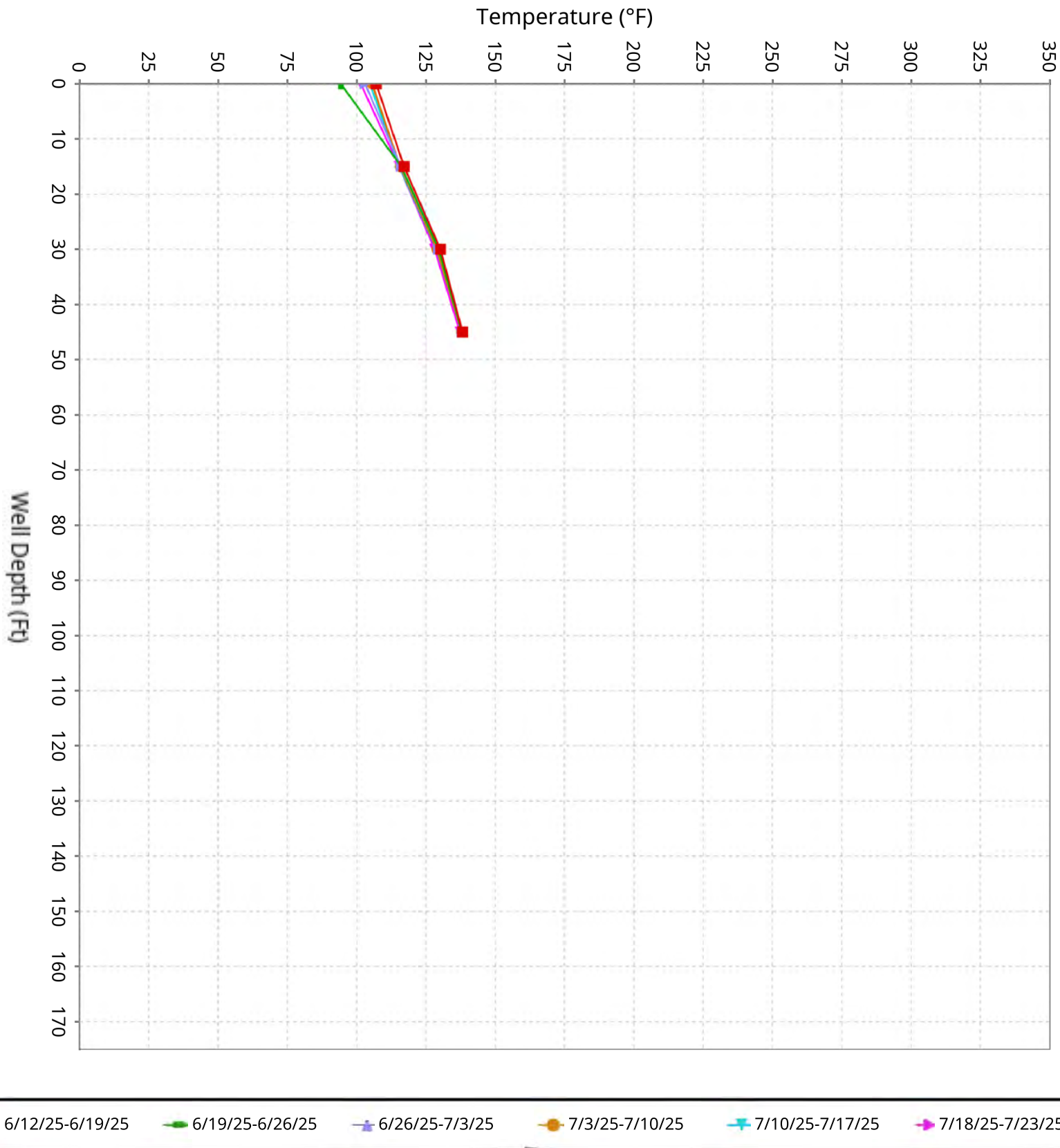
Vertical Temperature Profiles from Temperature Probes at Chiquita Landfill for TP-19

Maximum data for 6/12/2025 to 7/23/2025



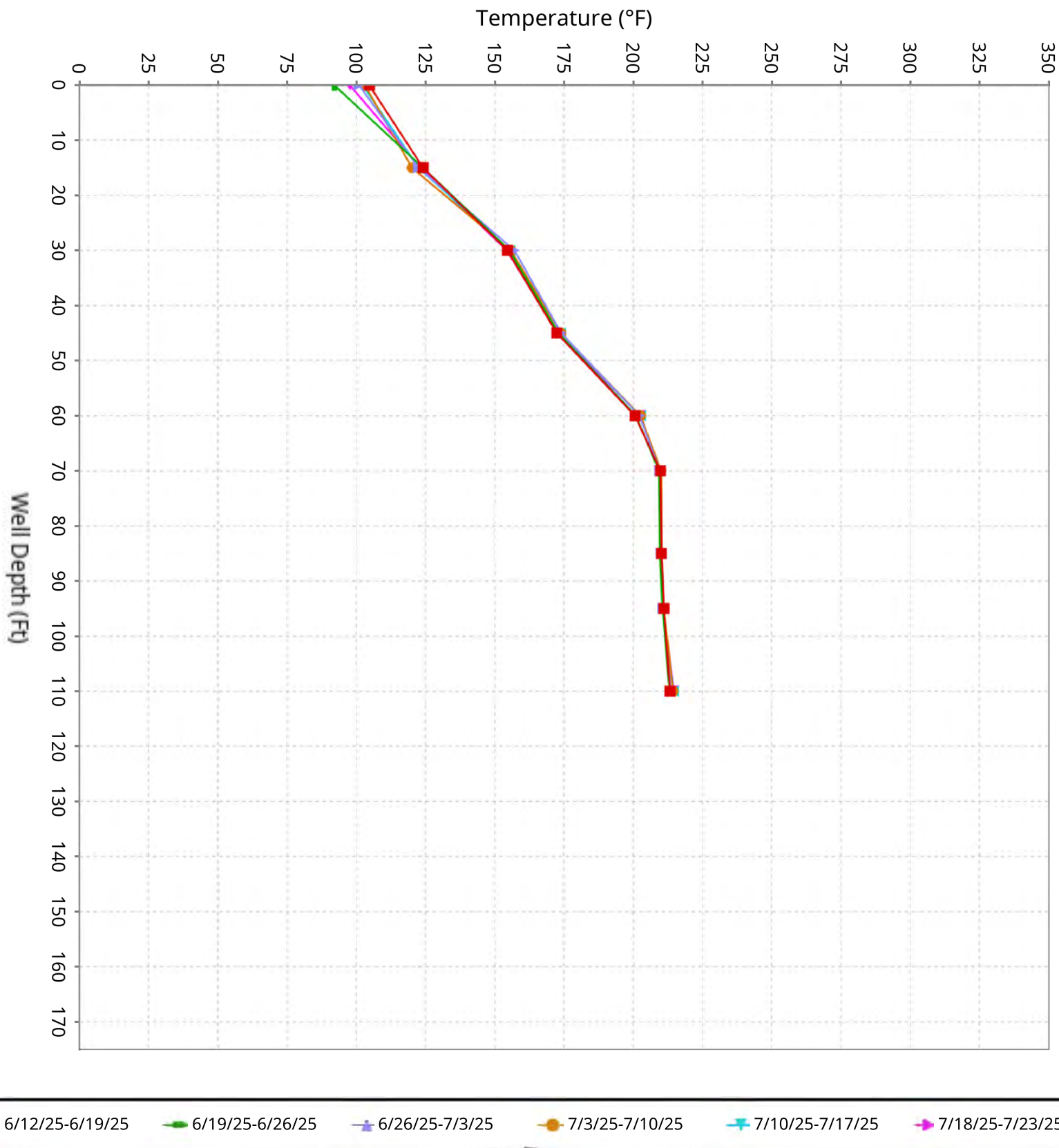
Vertical Temperature Profiles from Temperature Probes at Chiquita Landfill for TP-20

Maximum data for 6/12/2025 to 7/23/2025



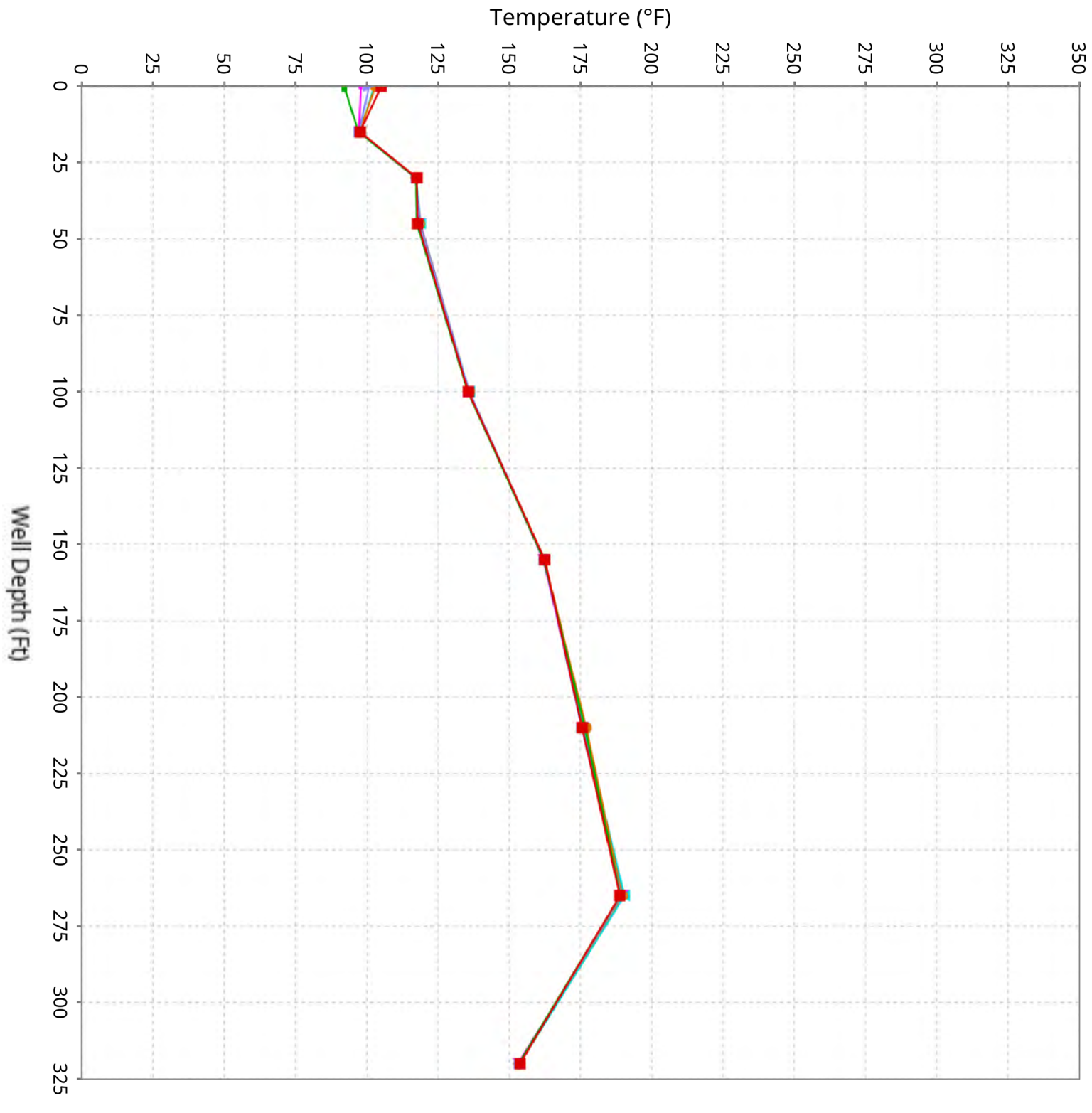
Vertical Temperature Profiles from Temperature Probes at Chiquita Landfill for TP-21

Maximum data for 6/12/2025 to 7/23/2025



Vertical Temperature Profiles from Temperature Probes at Chiquita Landfill for TP-24

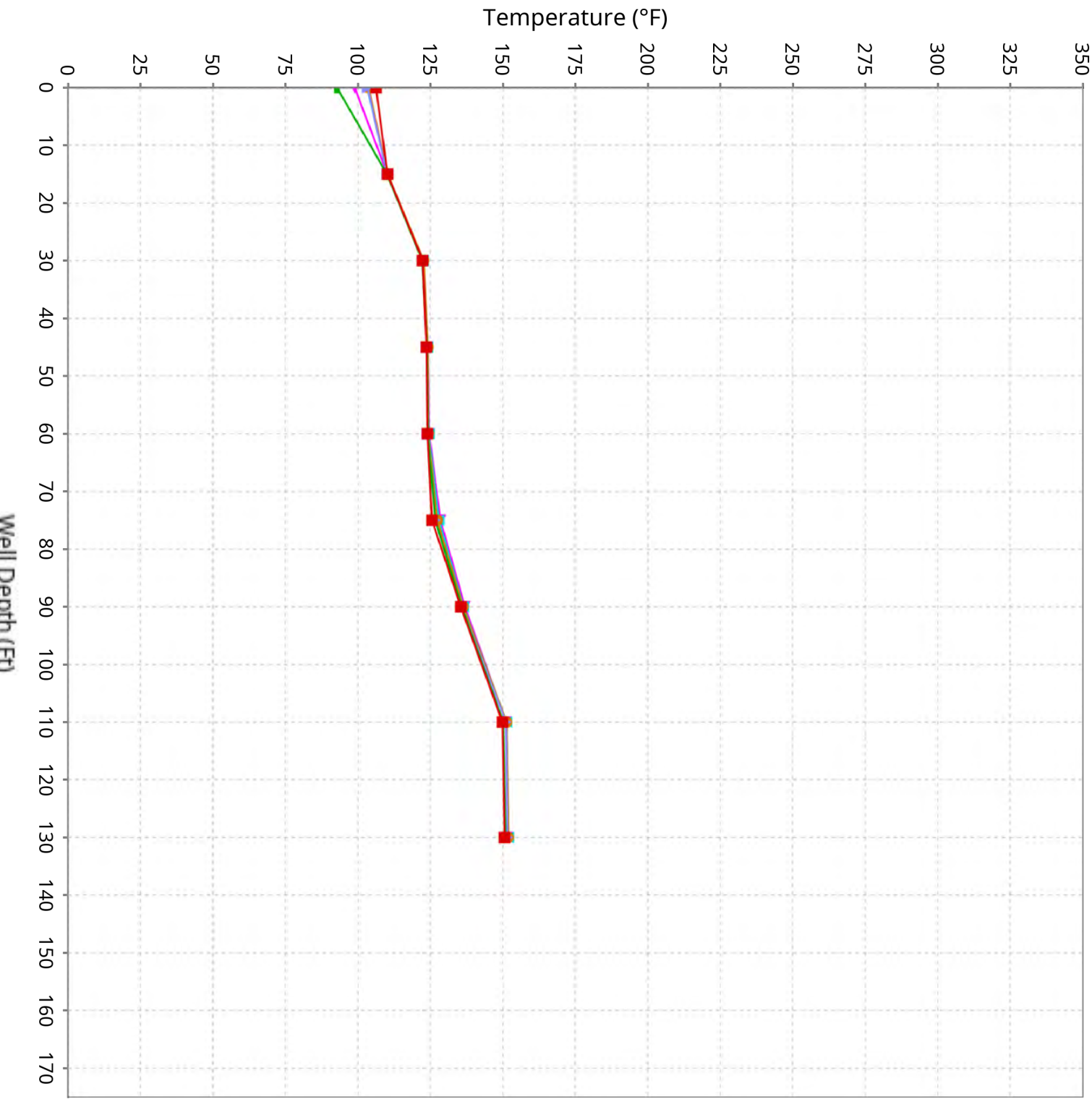
Maximum data for 6/12/2025 to 7/23/2025



■ 6/12/25-6/19/25 ■ 6/19/25-6/26/25 ■ 6/26/25-7/3/25 ■ 7/3/25-7/10/25 ■ 7/10/25-7/17/25 ■ 7/18/25-7/23/25

Vertical Temperature Profiles from Temperature Probes at Chiquita Landfill for TP-25

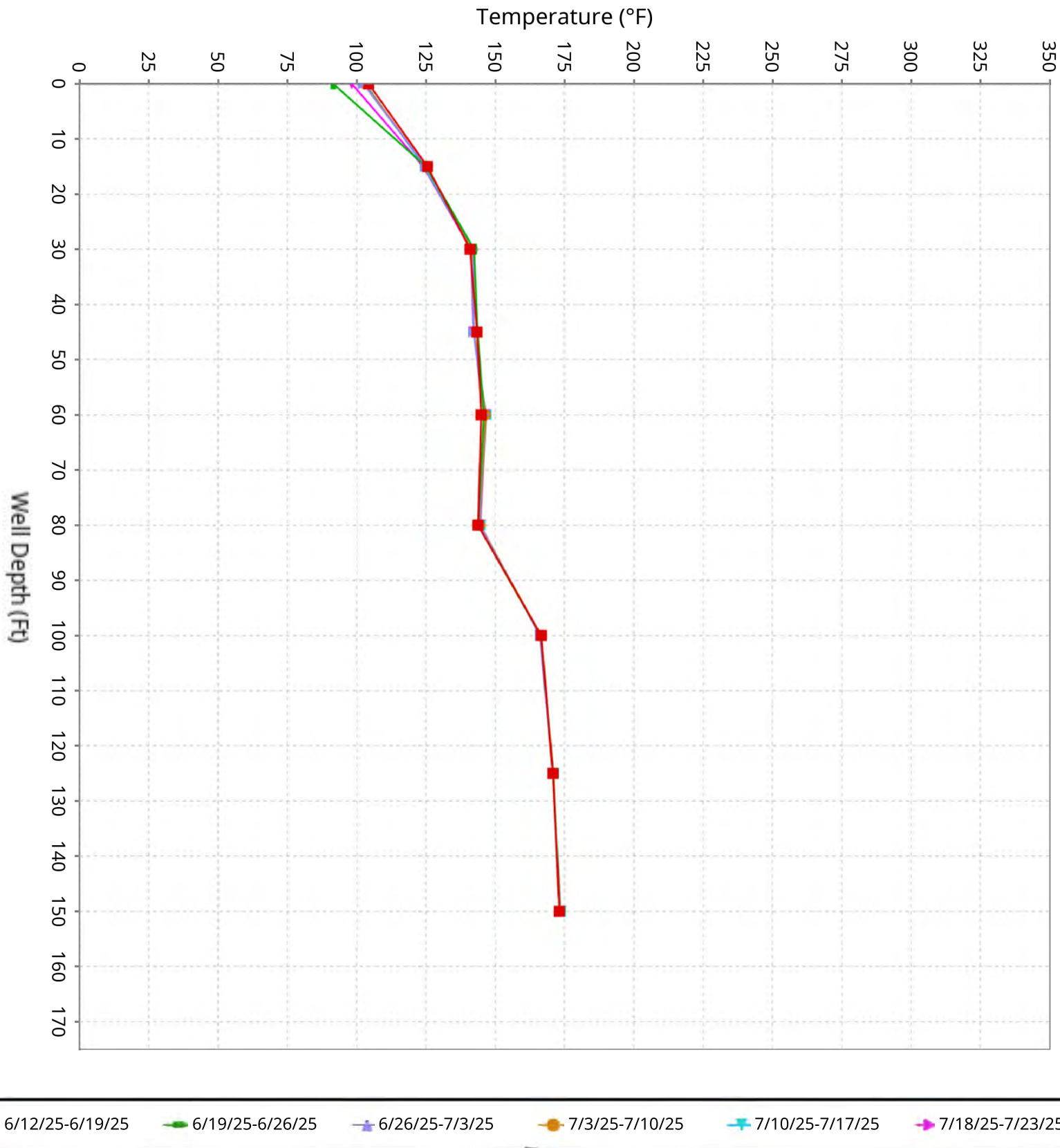
Maximum data for 6/12/2025 to 7/23/2025



■ 6/12/25-6/19/25 ■ 6/19/25-6/26/25 ■ 6/26/25-7/3/25 ■ 7/3/25-7/10/25 ■ 7/10/25-7/17/25 ■ 7/18/25-7/23/25

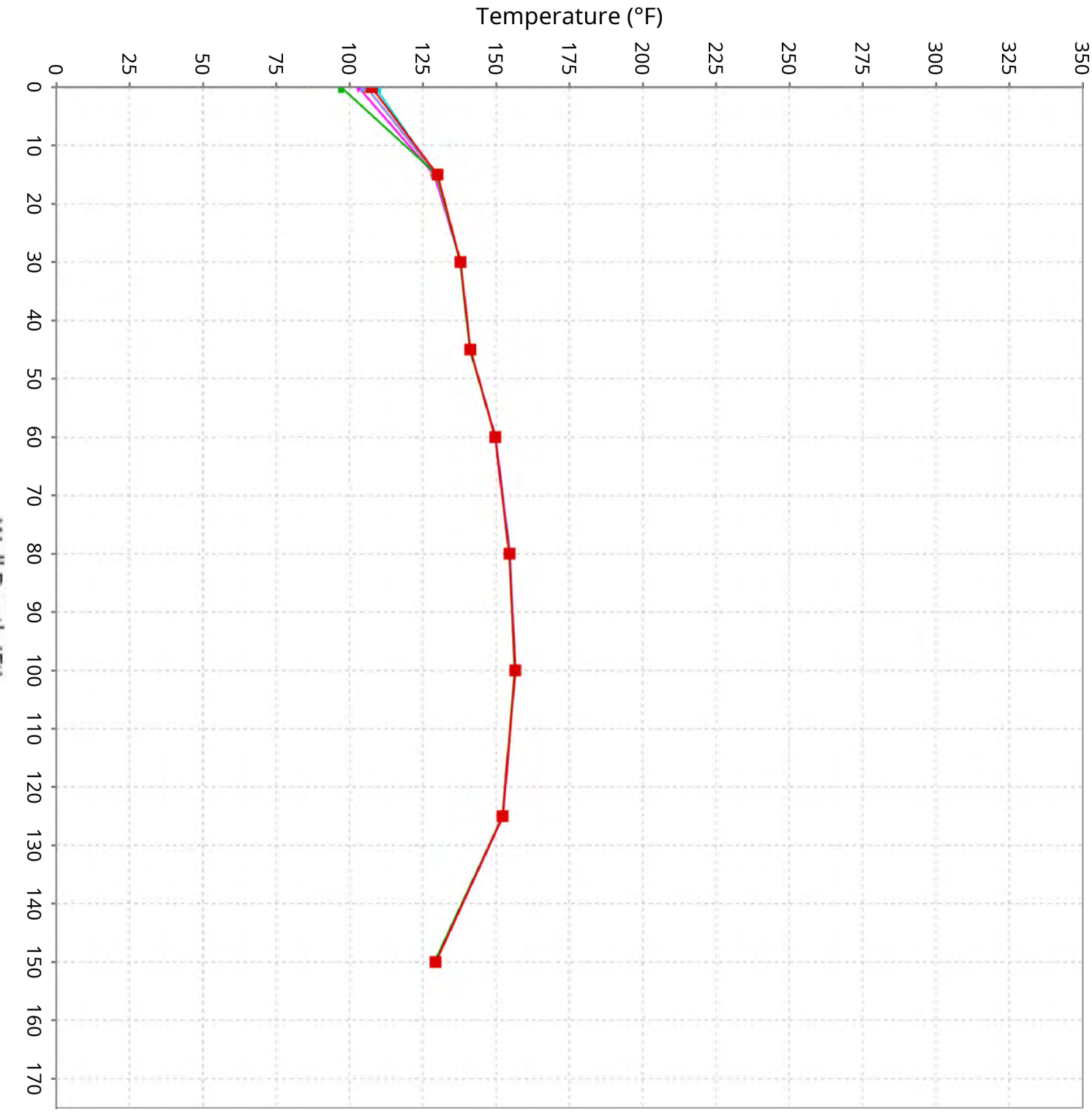
Vertical Temperature Profiles from Temperature Probes at Chiquita Landfill for TP-26

Maximum data for 6/12/2025 to 7/23/2025



Vertical Temperature Profiles from Temperature Probes at Chiquita Landfill for TP-27

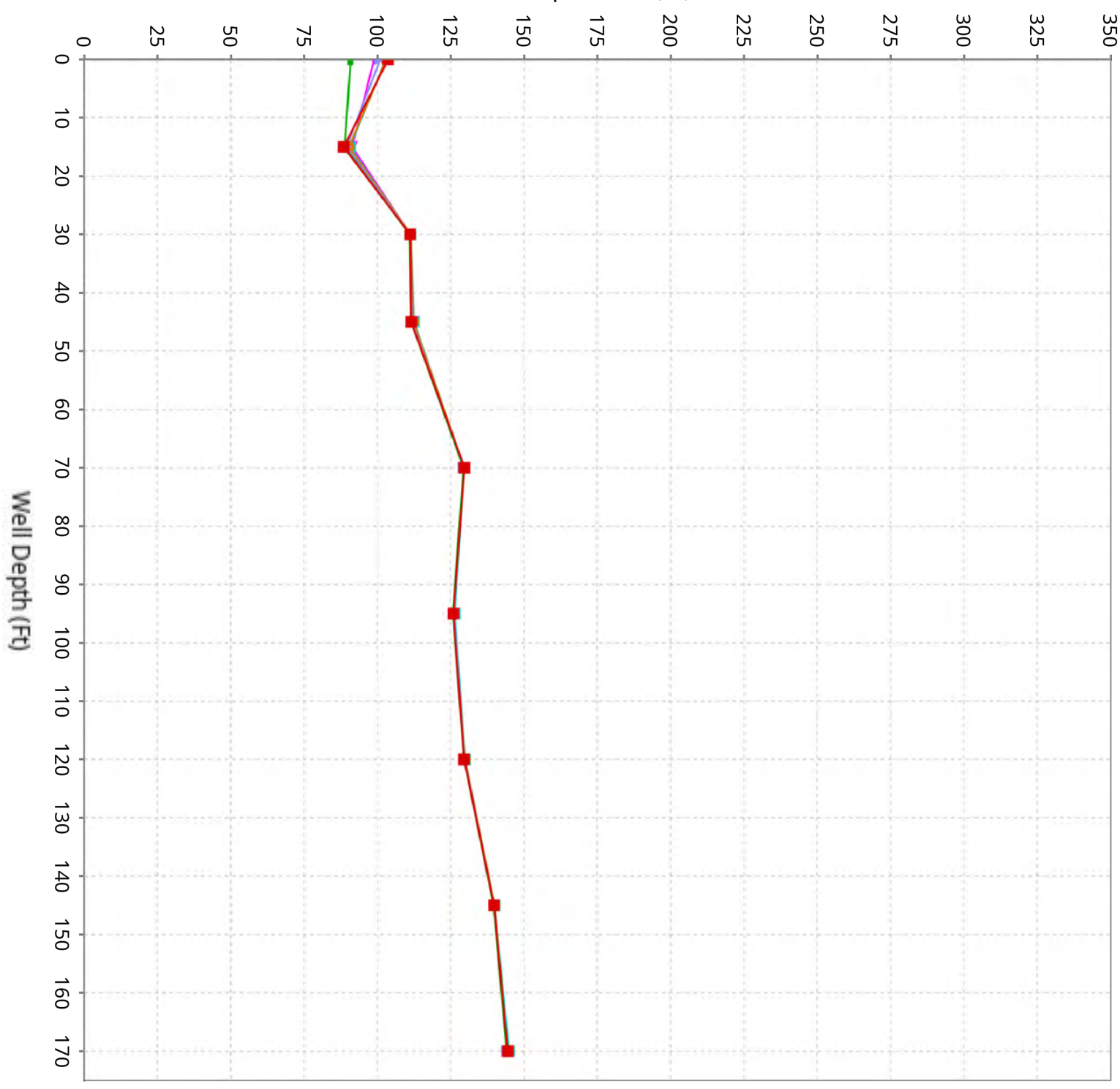
Maximum data for 6/12/2025 to 7/23/2025



Vertical Temperature Profiles from Temperature Probes at Chiquita Landfill for TP-28

Maximum data for 6/12/2025 to 7/23/2025

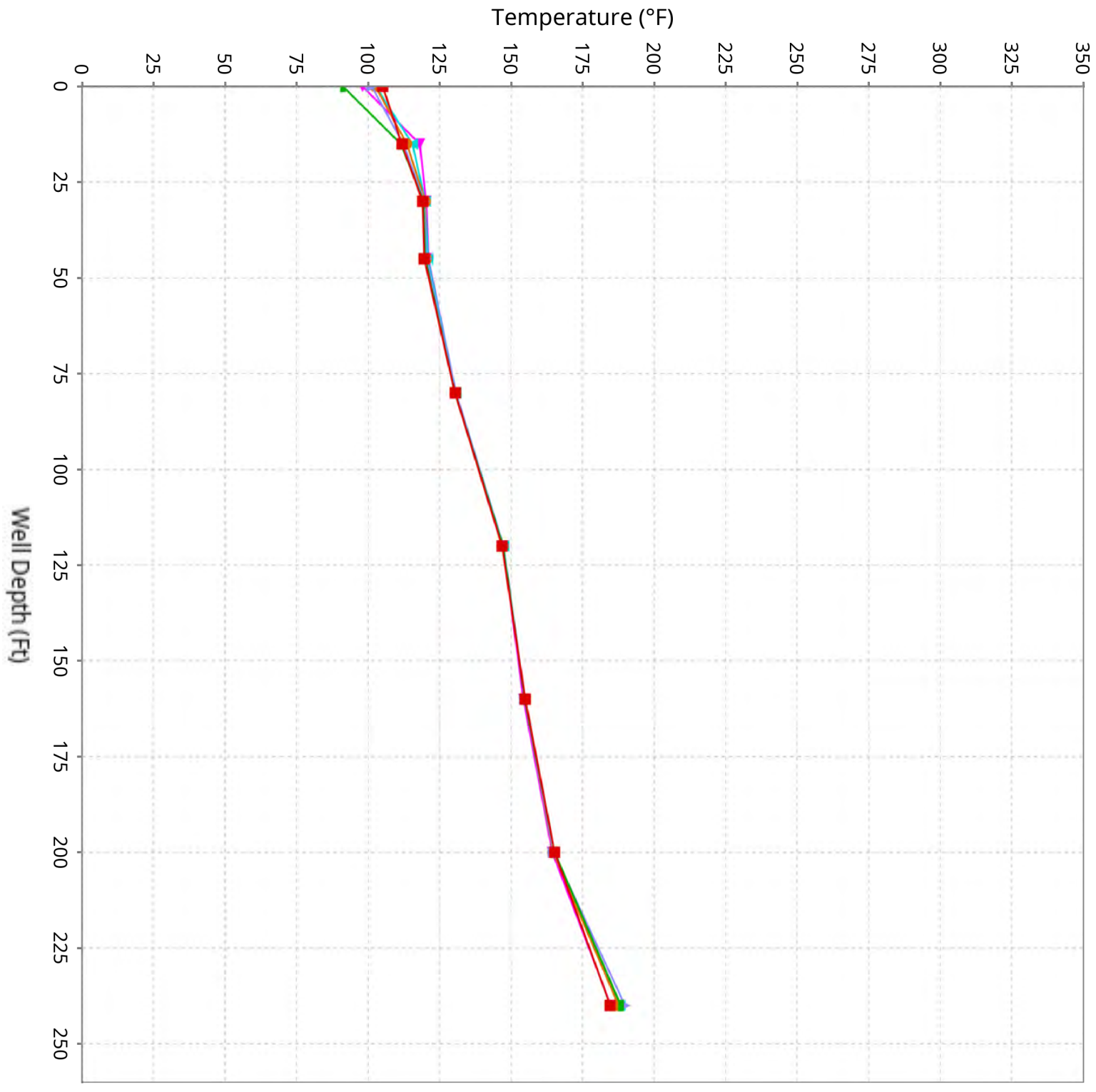
Temperature (°F)



■ 6/12/25-6/19/25 ■ 6/19/25-6/26/25 ■ 6/26/25-7/3/25 ■ 7/3/25-7/10/25 ■ 7/10/25-7/17/25 ■ 7/18/25-7/23/25

Vertical Temperature Profiles from Temperature Probes at Chiquita Landfill for TP-29

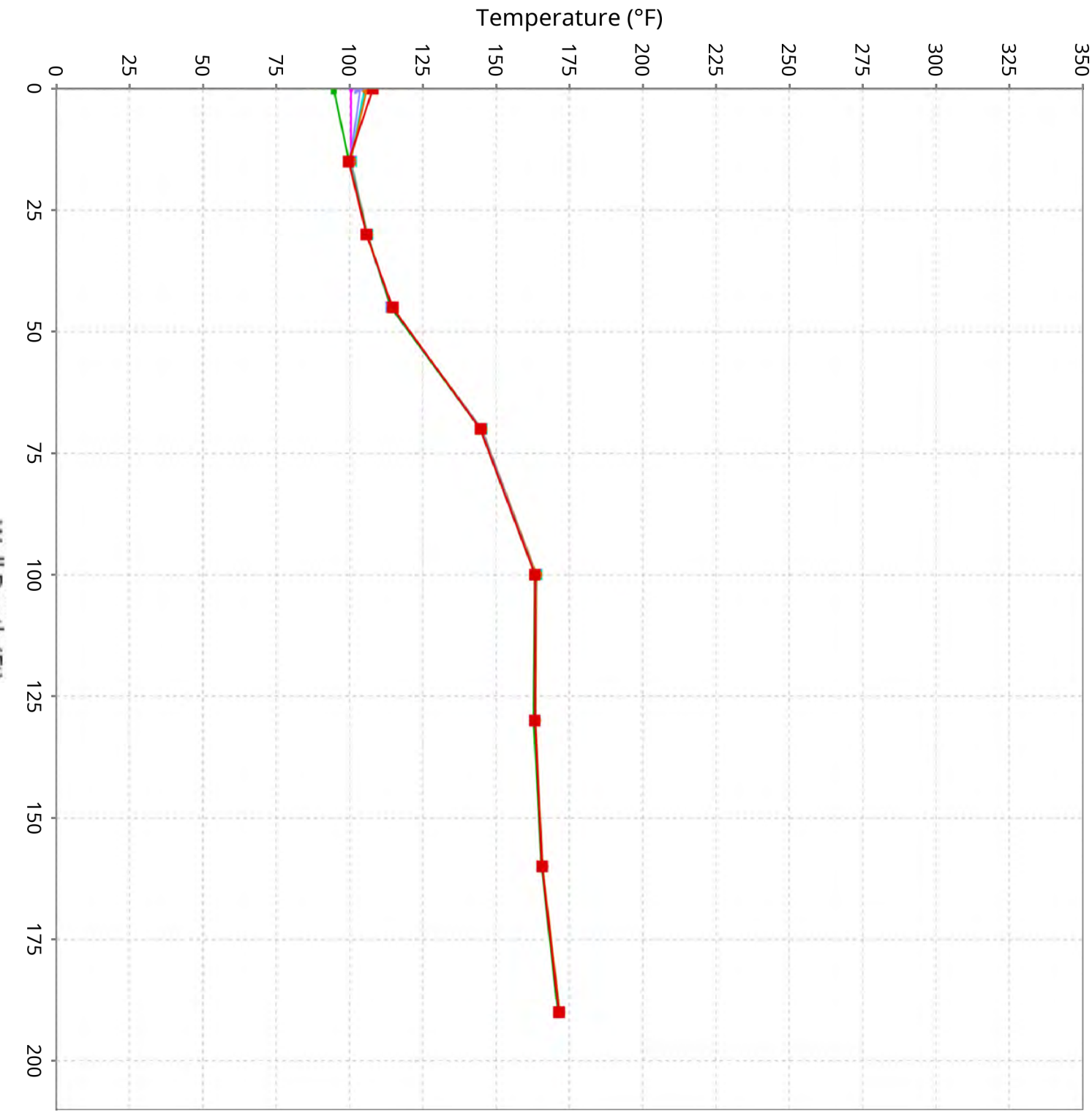
Maximum data for 6/12/2025 to 7/23/2025



■ 6/12/25-6/19/25 ■ 6/19/25-6/26/25 ■ 6/26/25-7/3/25 ■ 7/3/25-7/10/25 ■ 7/10/25-7/17/25 ■ 7/18/25-7/23/25

Vertical Temperature Profiles from Temperature Probes at Chiquita Landfill for TP-30

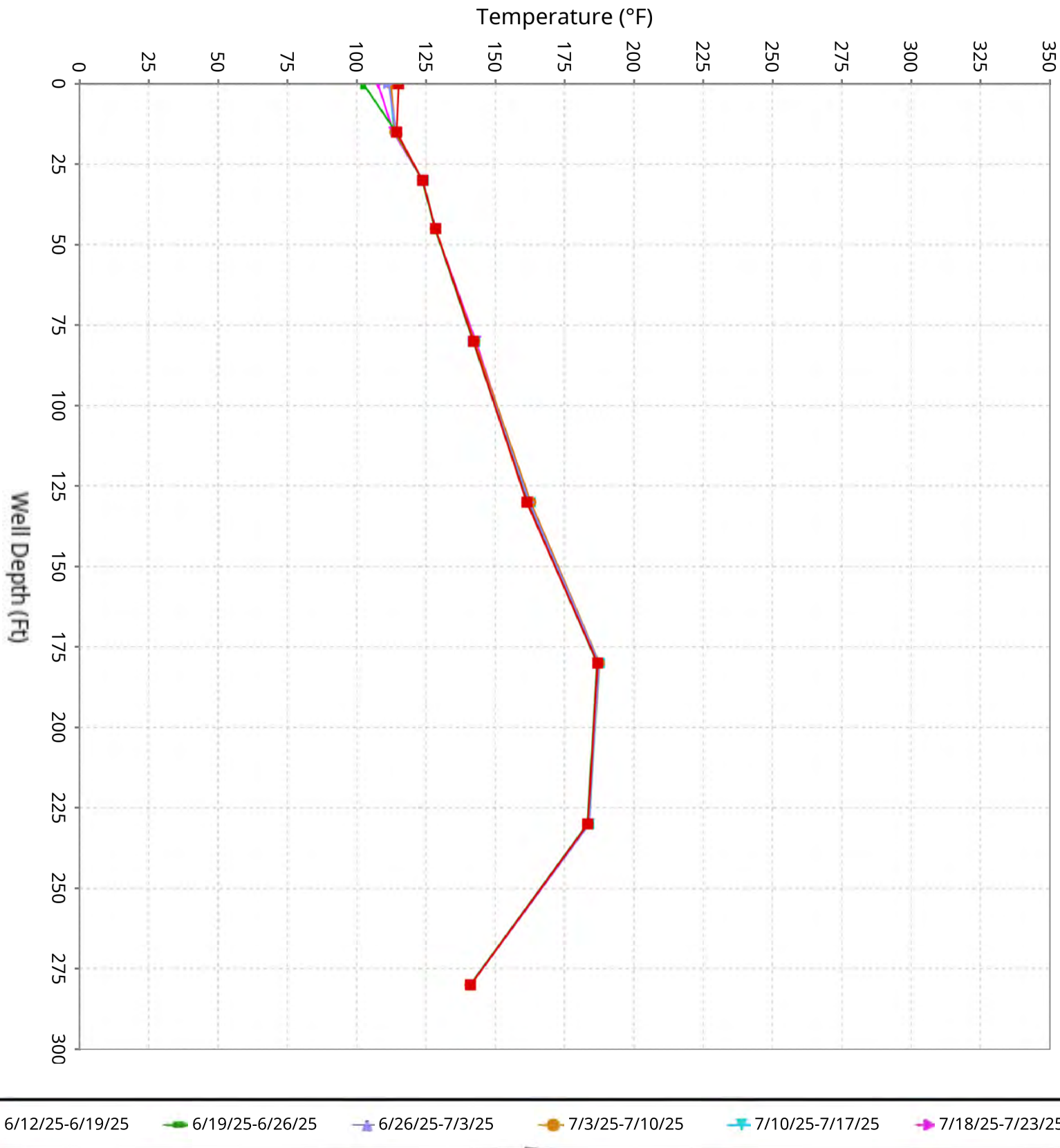
Maximum data for 6/12/2025 to 7/23/2025



■ 6/12/25-6/19/25 ■ 6/19/25-6/26/25 ■ 6/26/25-7/3/25 ■ 7/3/25-7/10/25 ■ 7/10/25-7/17/25 ■ 7/18/25-7/23/25

Vertical Temperature Profiles from Temperature Probes at Chiquita Landfill for TP-31

Maximum data for 6/12/2025 to 7/23/2025



■ 6/12/25-6/19/25

■ 6/19/25-6/26/25

■ 6/26/25-7/3/25

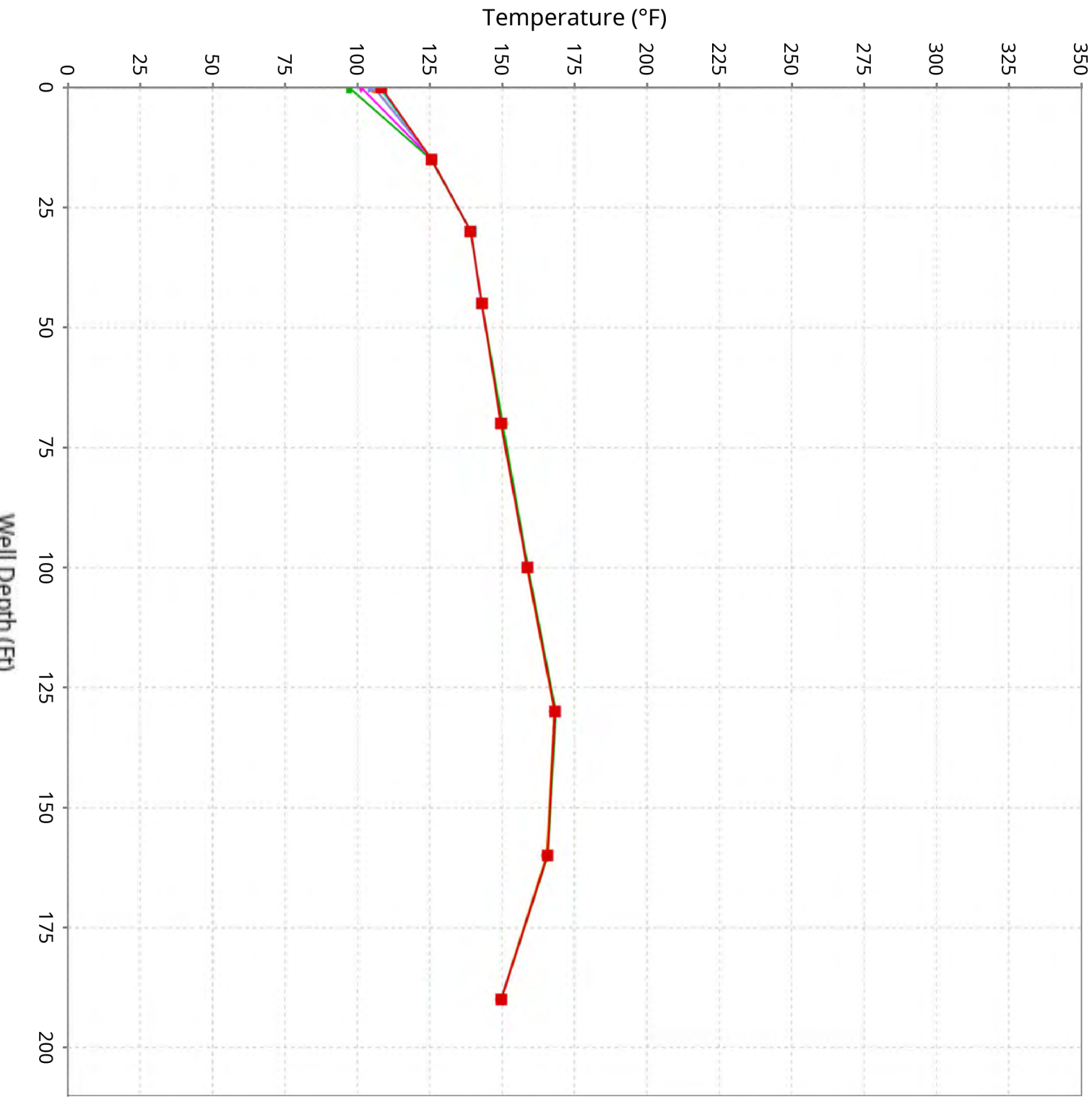
■ 7/3/25-7/10/25

■ 7/10/25-7/17/25

■ 7/18/25-7/23/25

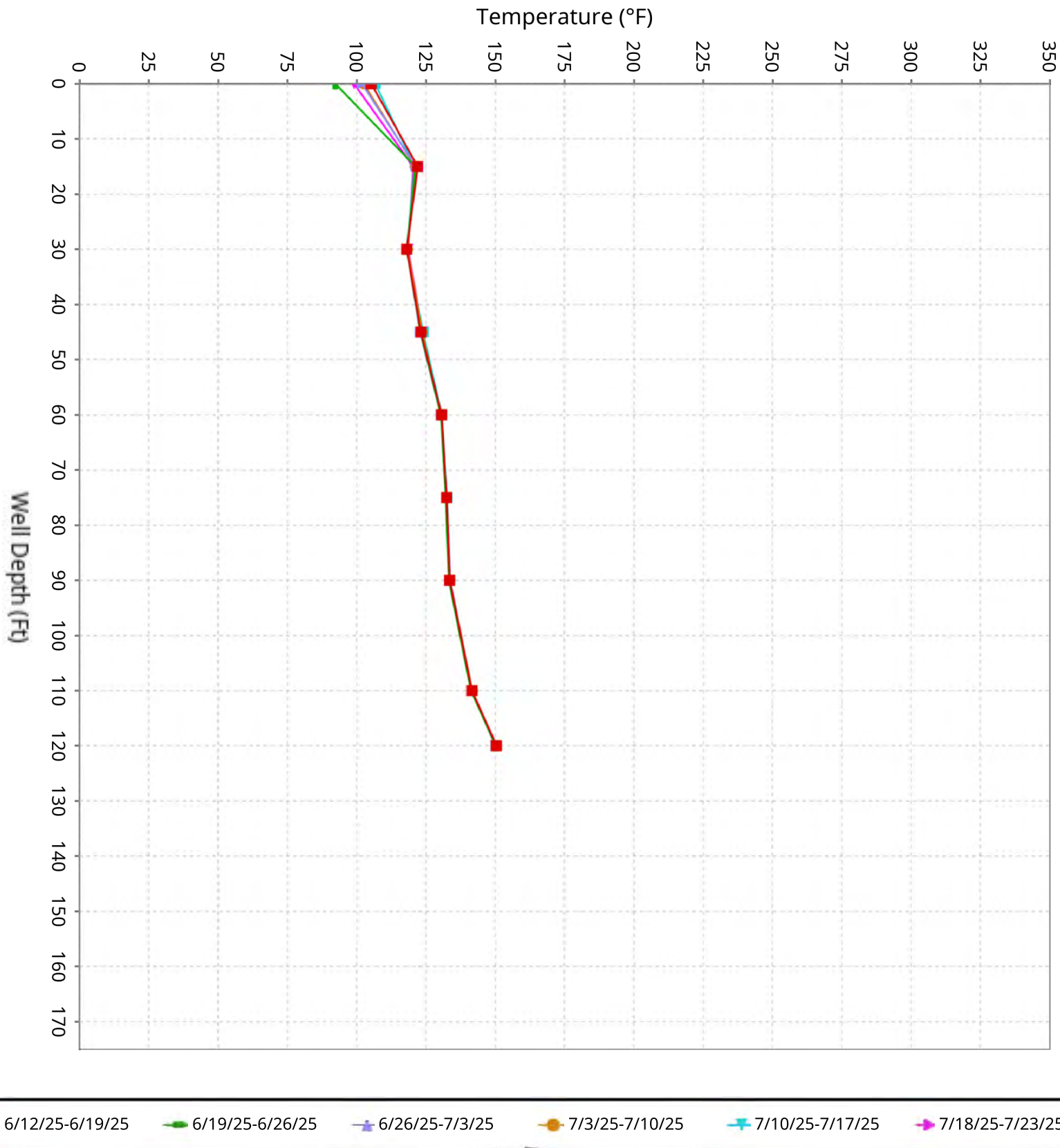
Vertical Temperature Profiles from Temperature Probes at Chiquita Landfill for TP-32

Maximum data for 6/12/2025 to 7/23/2025



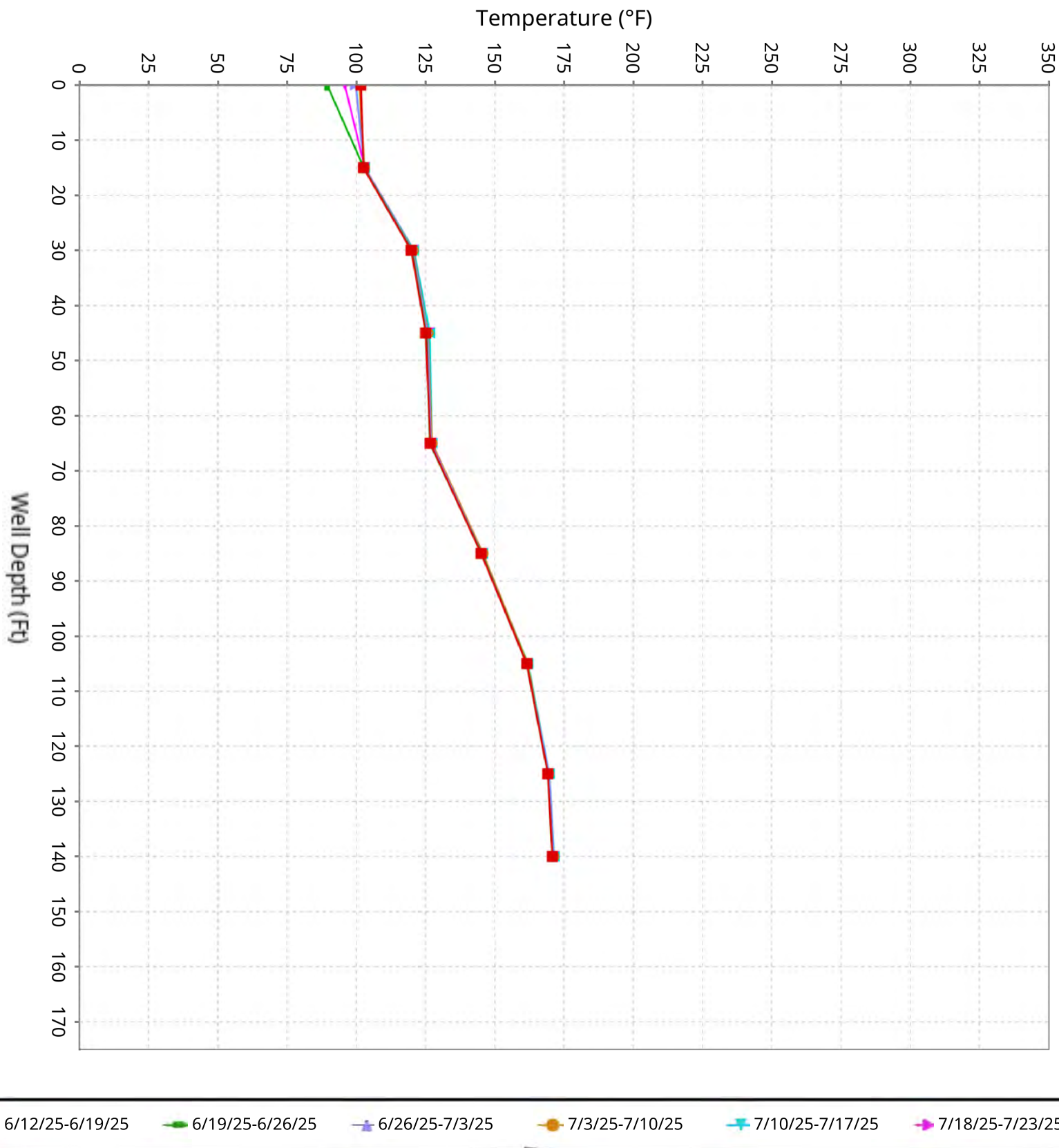
Vertical Temperature Profiles from Temperature Probes at Chiquita Landfill for TP-34

Maximum data for 6/12/2025 to 7/23/2025

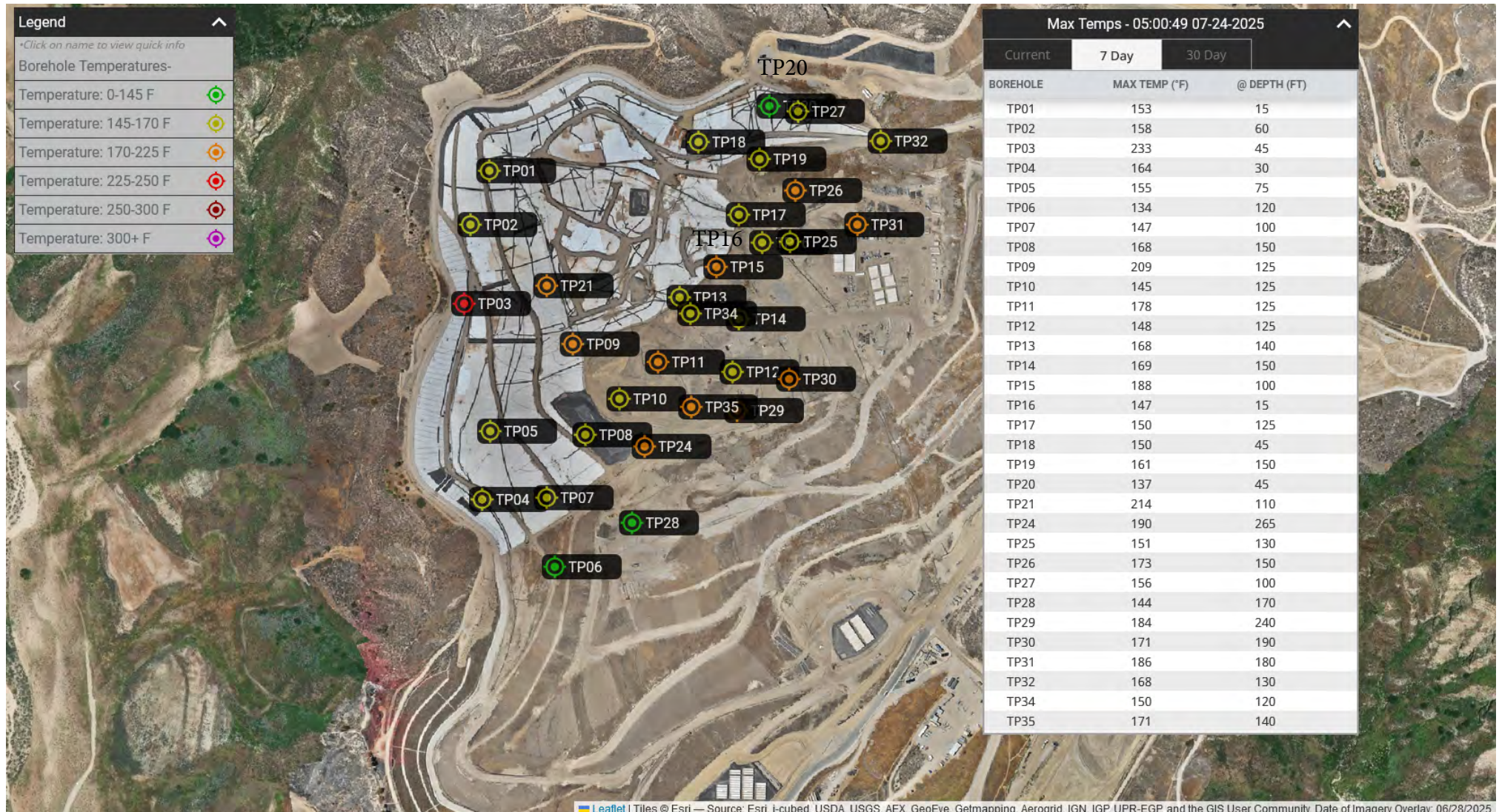


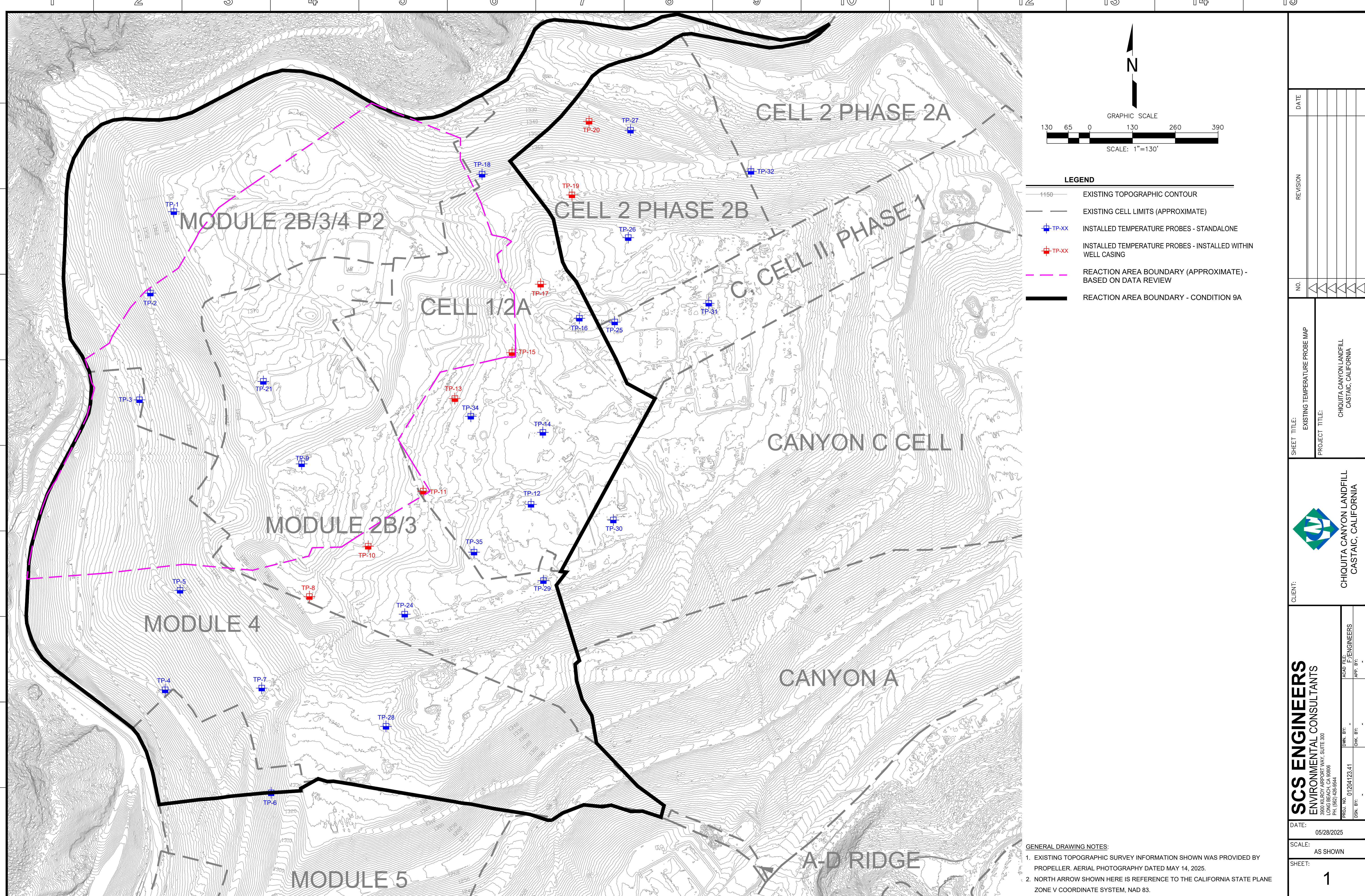
Vertical Temperature Profiles from Temperature Probes at Chiquita Landfill for TP-35

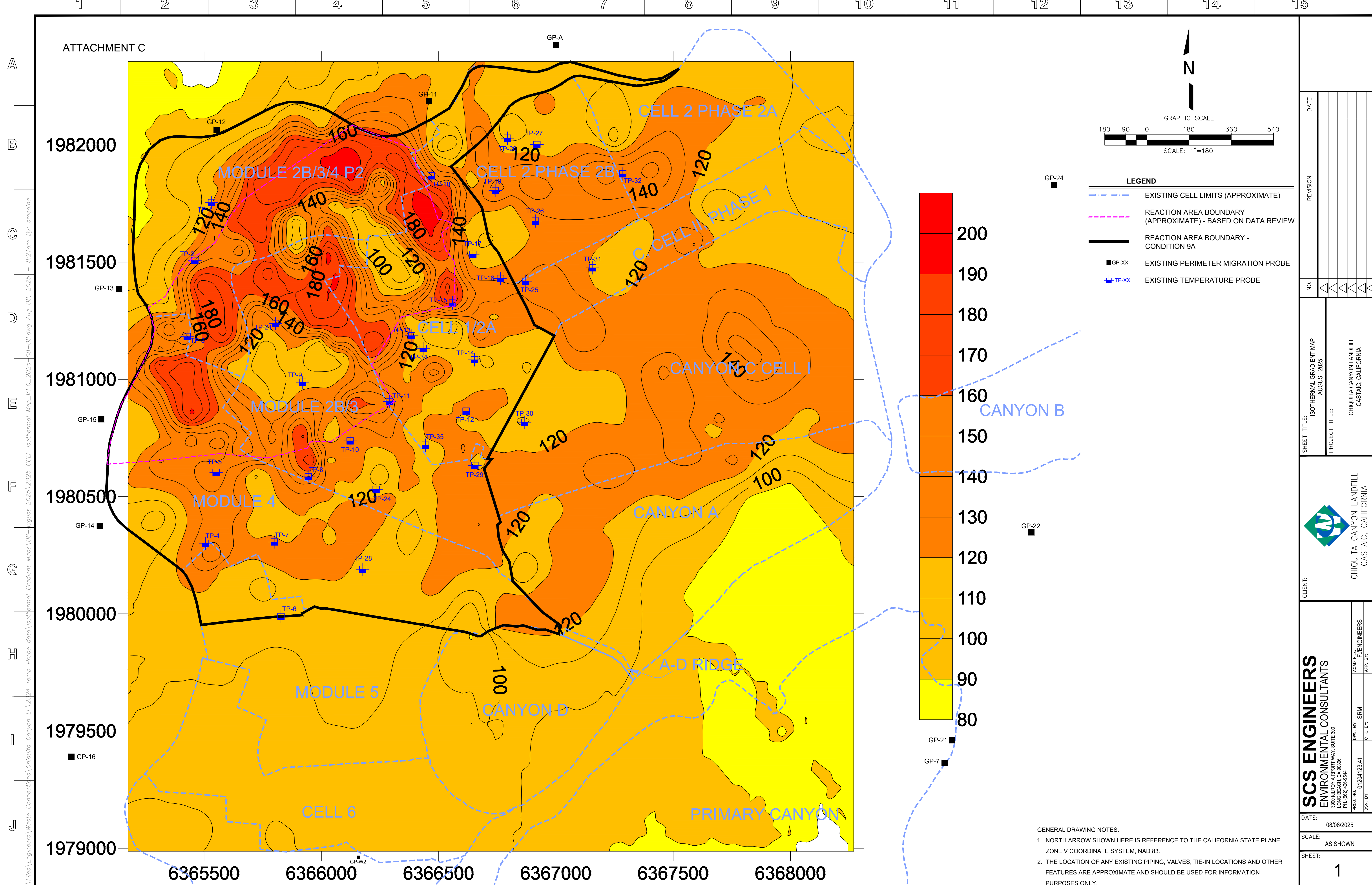
Maximum data for 6/12/2025 to 7/23/2025

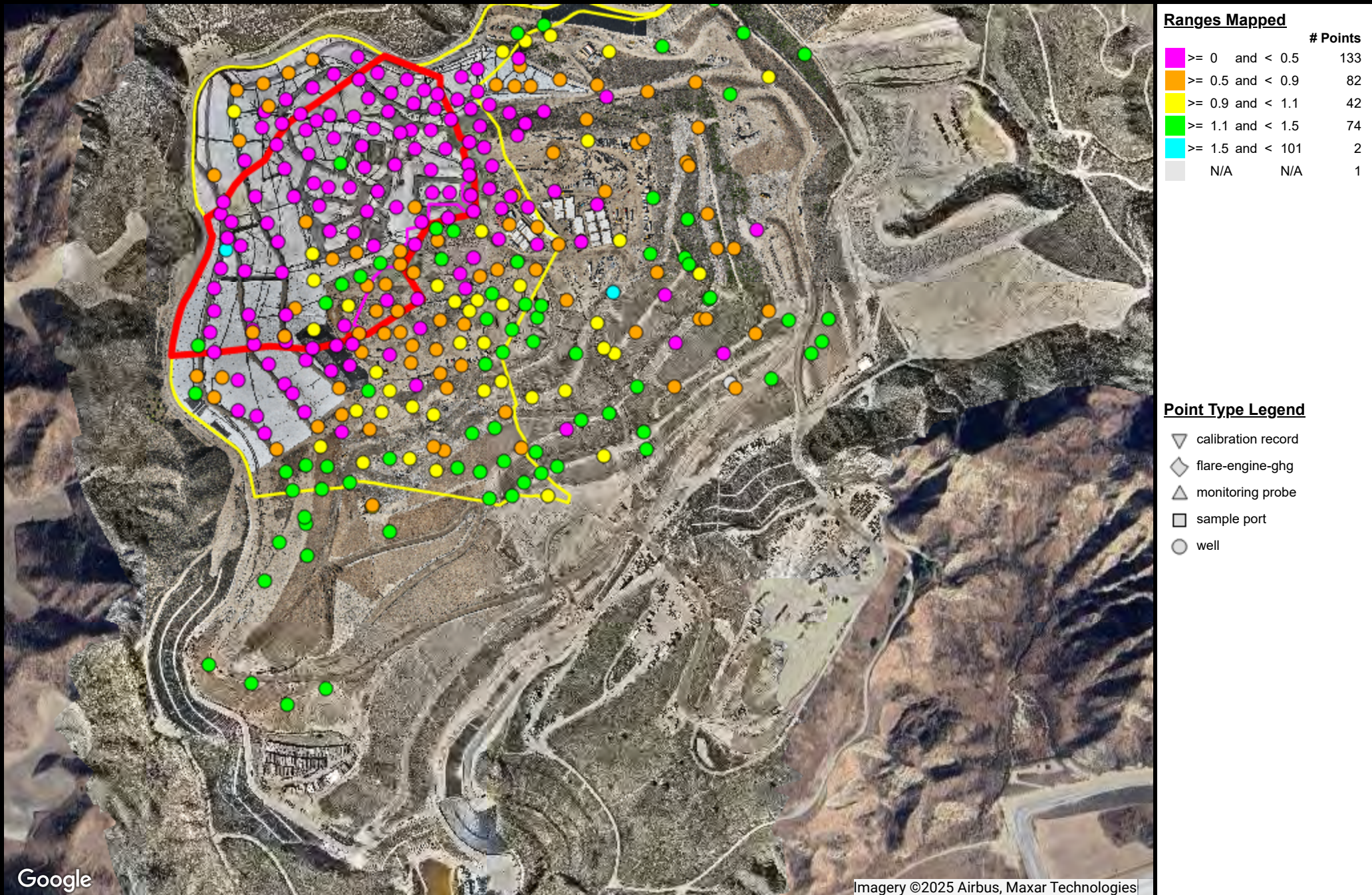


Maximum Vertical Temperature Map from Temperature Probes at Chiquita Landfill









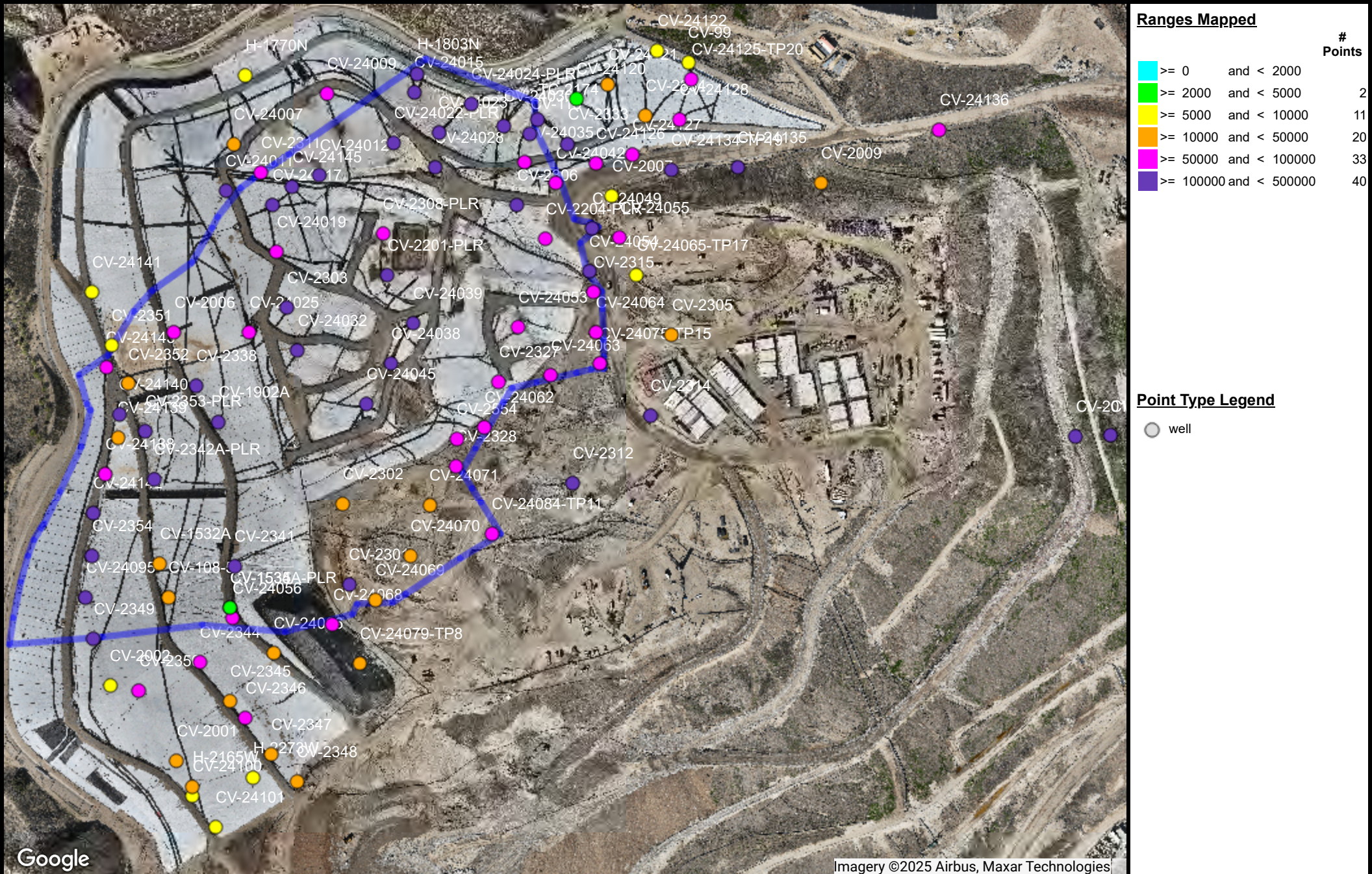
ATTACHMENT D

Chiquita Canyon Landfill
Range Map
Parameter: CH4/CO2 Ratio (high range)
Analysis Method: Average

Date Range: 07/01/2025 - 07/31/2025

Map generation date : 08/08/2025





ATTACHMENT E

Chiquita Canyon Landfill

Range Map

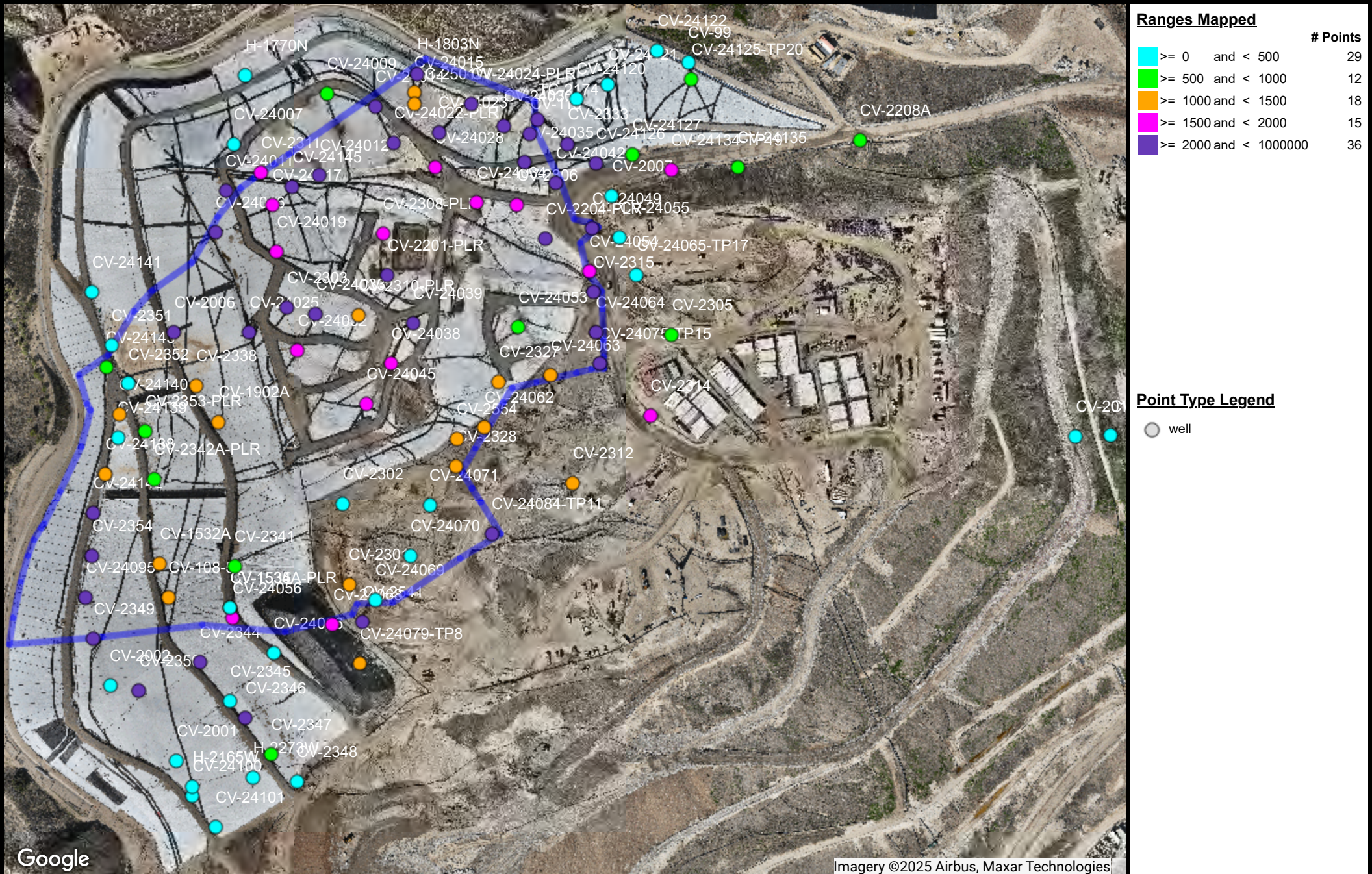
Parameter: H2 (mid range)

Analysis Method: Average

Date Range: 07/01/2025 - 07/31/2025

Map generation date : 08/08/2025





ATTACHMENT F

Chiquita Canyon Landfill

Range Map

Parameter: CO (mid range)

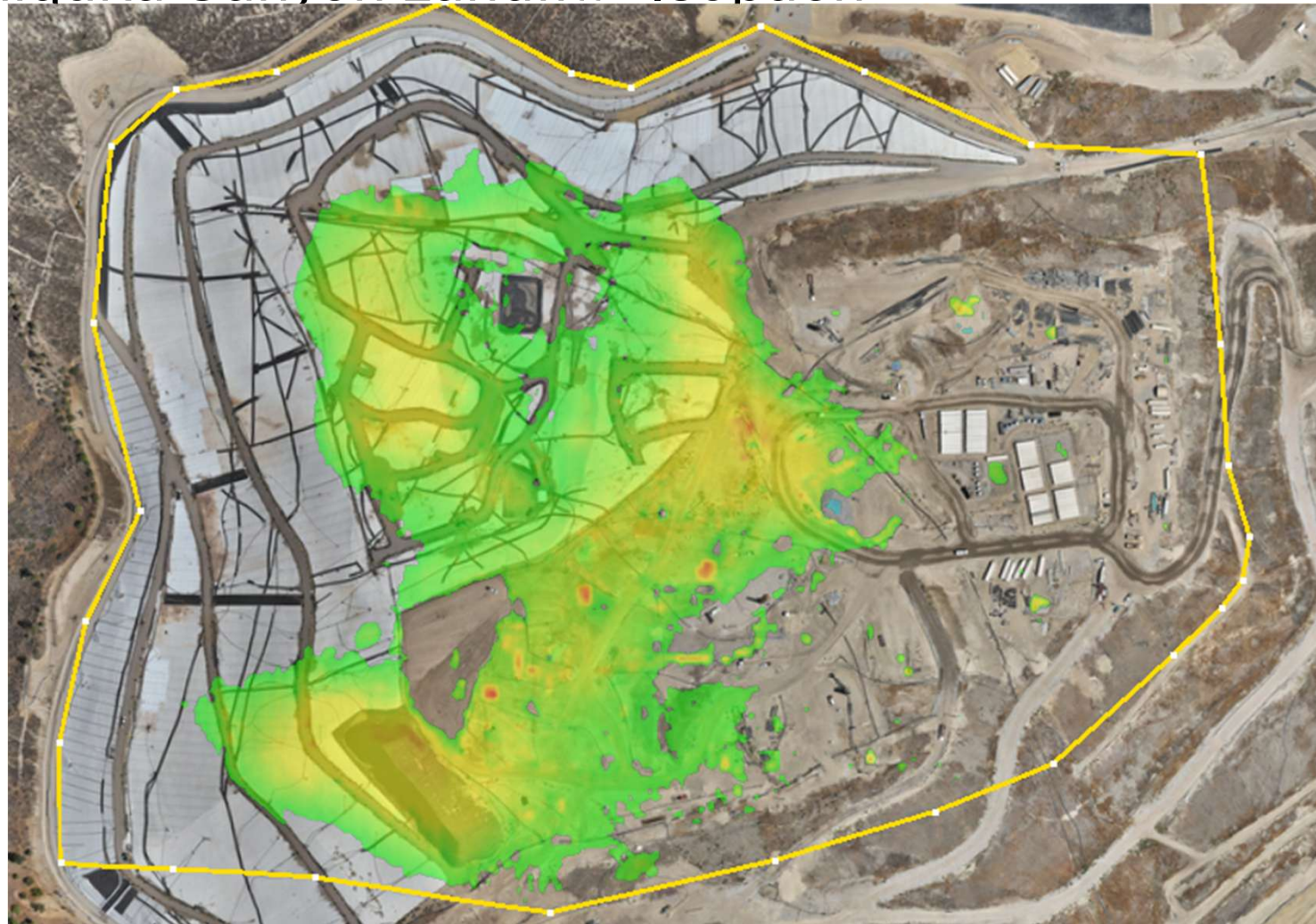
Analysis Method: Average

Date Range: 07/01/2025 - 07/31/2025

Map generation date : 08/08/2025



Chiquita Canyon Landfill - Isopach



July 2, 2025 Survey Image. April 2, 2025 vs July 2, 2025